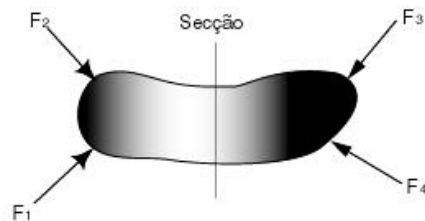


Aula 03 – Mecânica dos Sólidos - revisão

O estudo e aplicação da Mecânica dos Sólidos teve início com Galileu no início do Século XVII no estudo de carregamentos de vigas e eixos feitos com diversos materiais. Notável progresso foi observado no final do Século XIX pelos pesquisadores franceses (Saint –Venant, Poisson, Lamé, Navier, Coulomb e Cauchy), com o estabelecimento de experimentos denominados Resistência dos Materiais, mecanismos dos corpos deformáveis e mecânica dos sólidos. Posterior avanço derivou na teoria da elasticidade e teoria da plasticidade.

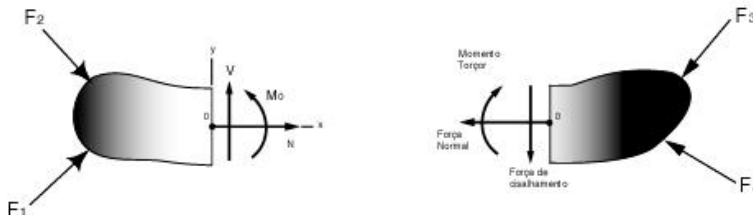
Equações de Equilíbrio

O equilíbrio de um corpo requer um **balanço de forças** que evite que o corpo translate ou tenha aceleração ao longo de um reta ou curva e o **balanço de momentos** para evitar que o corpo tenha translação.



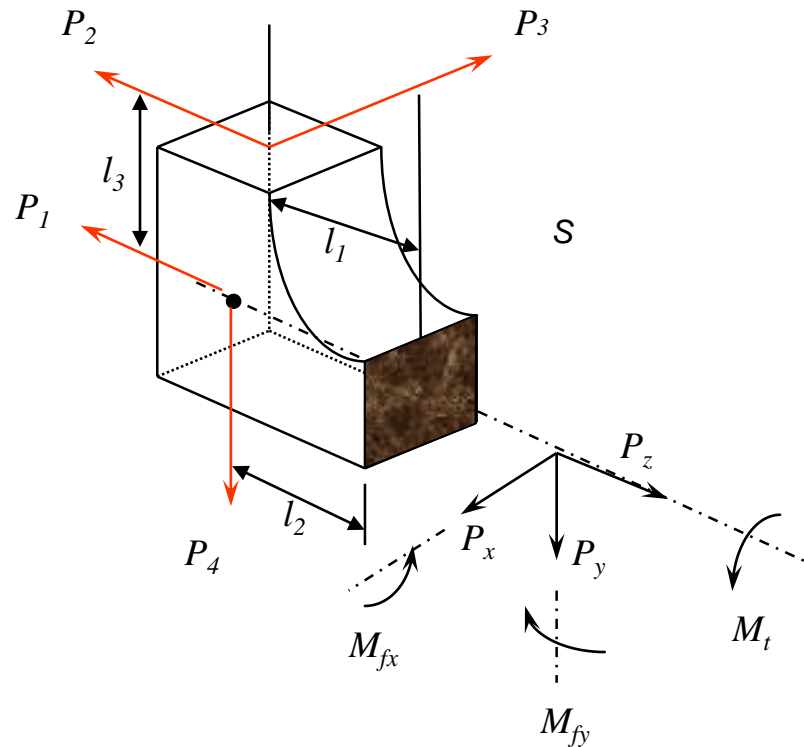
$$\Sigma F=0 \rightarrow \Sigma F_x=0; \Sigma F_y=0; \Sigma F_z=0$$

$$\Sigma M_0=0 \rightarrow \Sigma M_x=0; \Sigma M_y=0; \Sigma M_z=0$$



Na seção investigada o sistema de forças internas necessário para manter a parte isolada em equilíbrio consiste de uma força axial, de uma de cisalhamento, de um momento fletor e de um conjugado (torque)

3.1- Esforços solicitantes



P_z - Força normal

P_x, P_y - Forças cortantes

M_{fx}, M_{fy} - Momentos de flexão

M_t - Momento de torção

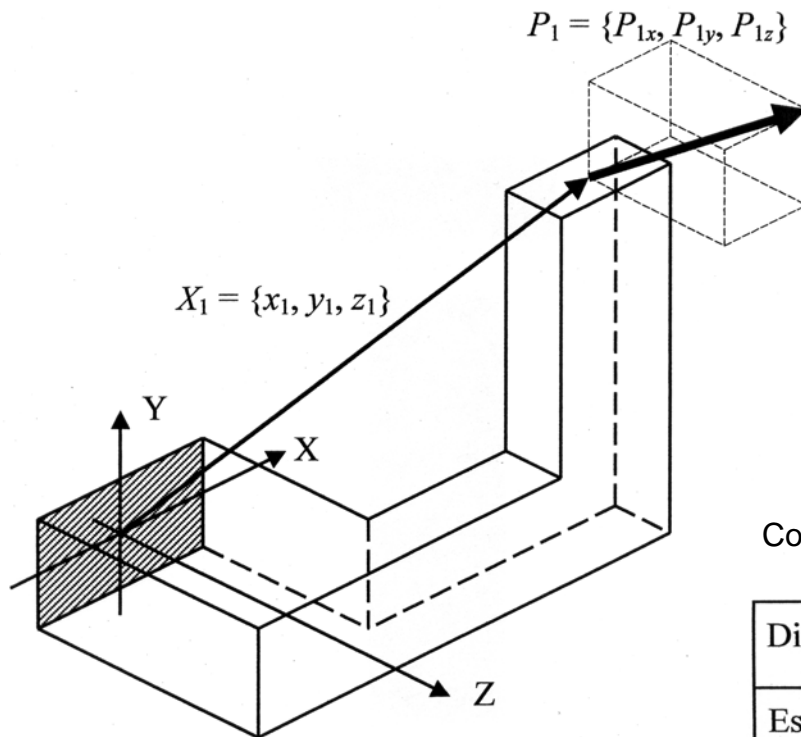
Condições de equilíbrio na seção S:

$$\begin{cases} P_x - P_3 = 0 \\ P_4 + P_y = 0 \\ P_z - P_1 - P_2 = 0 \end{cases}$$

$$M_{fx} + P_2 L_3 + P_4 L_2 = 0$$

$$M_{fy} + P_3 L_1 = 0$$

$$M_t - P_3 L_3 = 0$$



Condições de equilíbrio

Direção	X	Y	Z	θX	θY	θZ
Esforço	Q_x	Q_y	N_z	M_{fx}	M_{fy}	M_{tz}
P_{1x}	$+ P_{1x}$	-----	-----	-----	$+ P_{1x} \cdot z_1$	$- P_{1x} \cdot y_1$
P_{1y}	-----	$+ P_{1y}$	-----	$- P_{1y} \cdot z_1$	-----	$+ P_{1y} \cdot x_1$
P_{1z}	-----	-----	$+ P_{1z}$	$+ P_{1z} \cdot y_1$	$- P_{1z} \cdot x_1$	-----

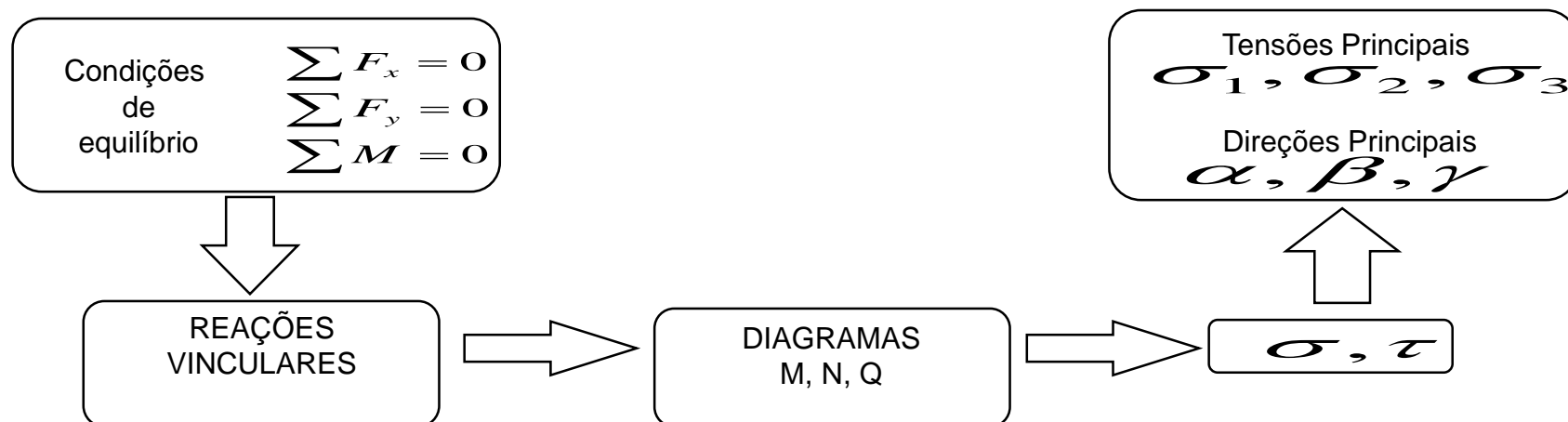
3.2 - Reações vinculares - Diagramas M, N, Q

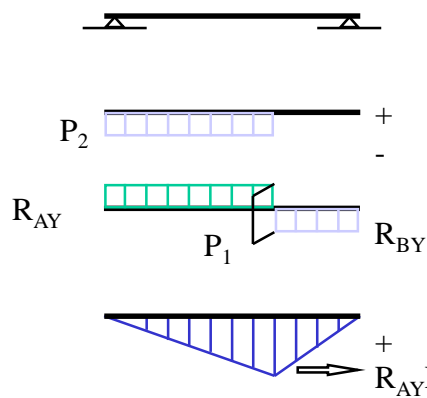
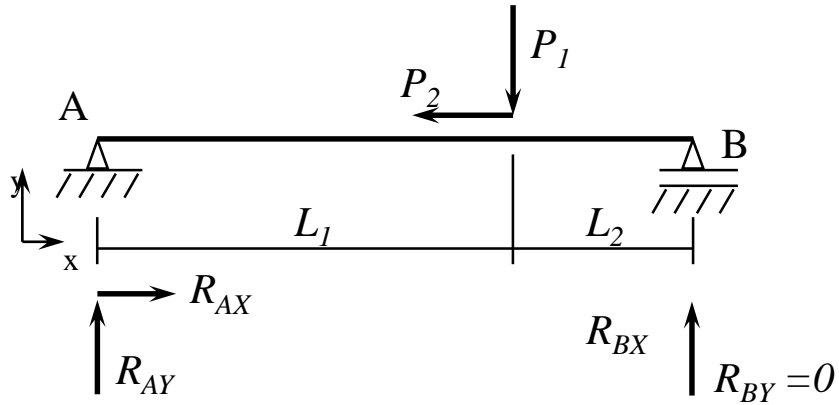
Determinação estática

Sistemas elásticos

{	Indeterminado(móvel)	, hipostático
	Determinado	, <u>isostático</u>
	Superdeterminado	, hiperestático

- Sistemas móveis : Não suportam carga
- Sistemas hiperestáticos : Cálculos mais difíceis
Uso de elementos finitos
- Sistemas isostáticos : Normais





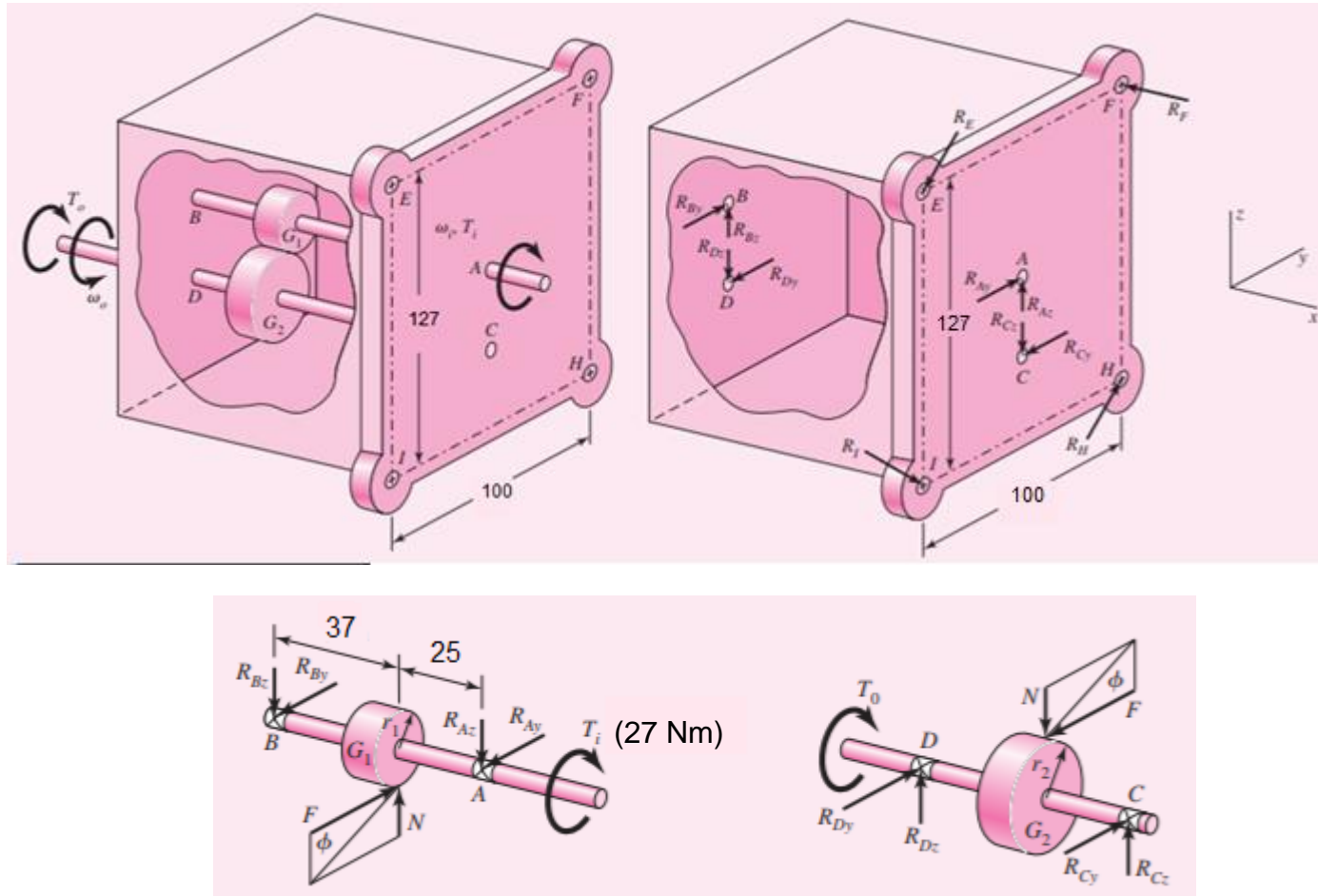
Convenção de sinal :

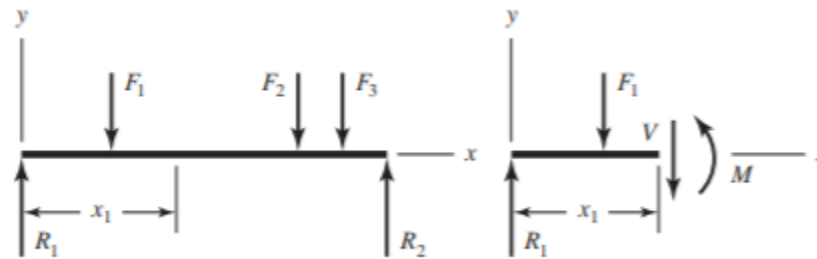
(N) { + tração
- compressão

(Q) { + sentido horário
- sentido anti-horário

(M) { + tração no lado inferior (desenha-se diagrama do lado tracionado)

EXEMPLO





$$V = \frac{dM}{dx}$$



positivo

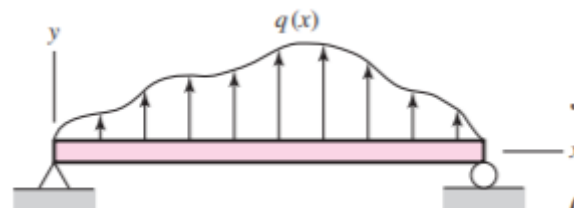
negativo



positivo

negativo

$$\frac{dV}{dx} = \frac{d^2M}{dx^2} = q$$

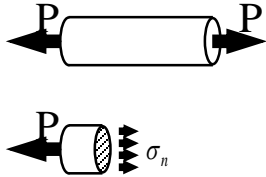


$$\int_{V_A}^{V_B} dV = V_B - V_A = \int_{x_A}^{x_B} q dx$$

$$\int_{M_A}^{M_B} dM = M_B - M_A = \int_{x_A}^{x_B} V dx$$

3.3- Tensão normal

Estado uniaxial de tensão



$$\sigma_n = \frac{P}{S}$$

[N/m²]

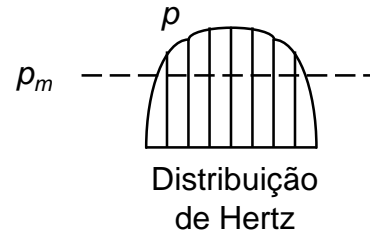
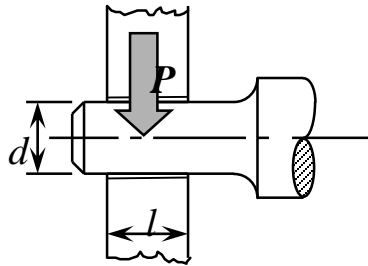
[MPa]

Sistema de unidades:

- Cuidado!
- Dê preferência ao S.I. (MKS)
- Pode-se usar unidades de maior sensibilidade para engenharia (Kgf/mm²). Cuidado!

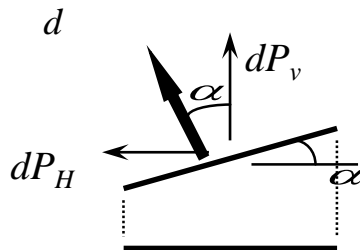
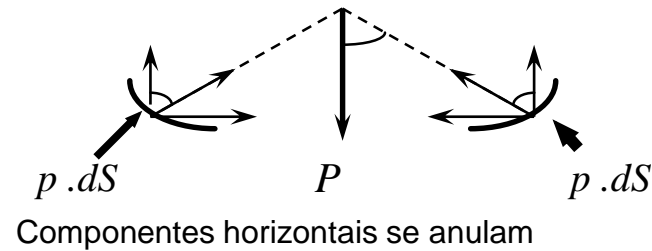
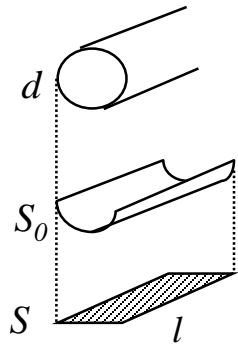
Grandeza	Nome	[mm]	[cm]	[m]
σ	Tensão	1 [Kgf/mm ²]	100 [Kgf/cm ²]	10 [MPa] 1[N/mm ²] = 1 [MPa]
$E_{aço}$	Módulo de elasticidade	2.10x10 ⁴ [Kgf/mm ²]	2.10x10 ⁶ [Kgf/cm ²]	2.10x10 ⁵ [MPa]
$G_{aço}$	Módulo de elasticidade transversal	0.81x10 ⁴ [Kgf/mm ²]	0.81x10 ⁶ [Kgf/cm ²]	0.81x10 ⁵ [MPa]
ν	Coefficiente de Poisson	0.3	0.3	0.3
$\rho_{aço}$	Densidade	7.85x10 ⁻³ [g/mm ³]	7.85 [g/cm ³]	7.85x10 ³ [Kg/m ³]
g	Aceleração da gravidade	9810 [mm/s ²]	981 [cm/s ²]	9.81 [m/s ²]
M_t	Momento de torção	1[kgf.mm]	0,1 [kgf.cm]	0,01 [N.m]

3.4 - Tensão normal de contato entre 2 superfícies (pressão específica)



$$p_m = \frac{P}{S}$$

$$S = d \cdot l$$



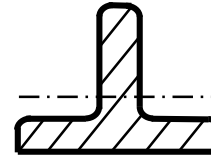
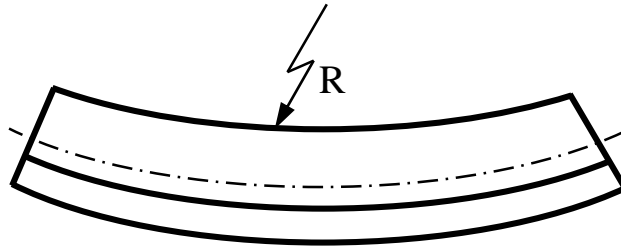
$$dP_v = (p \cdot dS) \cdot \cos \alpha$$

$$dP_v = p \cdot (dS \cdot \cos \alpha)$$

$$P = \int_{S_0} p \cdot \cos \alpha \cdot dS = p_m \cdot \int_S dS = p_m \cdot S$$

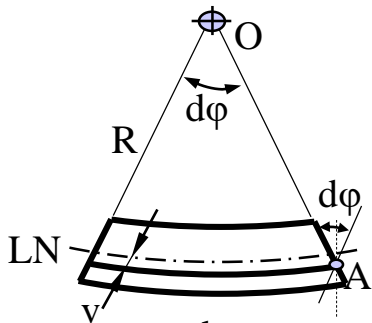
$$dS \cdot \cos \alpha = \text{área projetada}$$

3.5 - Tensão normal oriunda de momento fletor



HIPÓTESES:

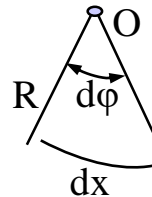
- Flexão pura (só Momento fletor)
- Secções planas permanecem planas após flexão
- Raio de curvatura R para cada ponto



$$\varepsilon = \frac{\Delta l}{l} = \frac{v \cdot d\phi}{dx}$$

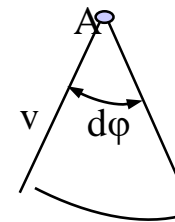
$$\varepsilon = \frac{v}{R} \frac{d\phi}{d\phi} \Rightarrow \text{mas } \varepsilon = \frac{1}{R} v \Rightarrow \varepsilon \propto v$$

Lei de Hooke $\sigma = E\varepsilon \Rightarrow \sigma = \frac{1}{R} E \cdot v$

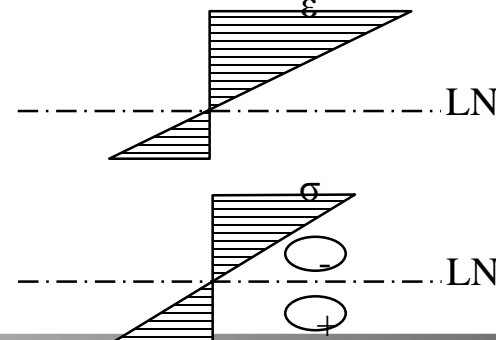


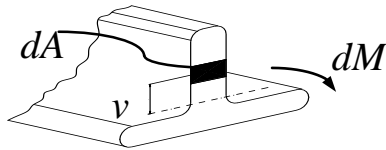
Arco = raio x ângulo

$$S = R \cdot \theta$$



Acréscimo em dx





• Num elemento de área

$$\Rightarrow dF = \sigma \cdot dA$$

• Não há força normal na secção devida à flexão

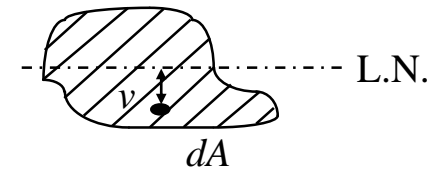
$$\Rightarrow F = \int_S \sigma \cdot dA = 0$$

$$\int \frac{E \cdot v}{R} \cdot dA = 0 \Rightarrow \int_S v \cdot dA = 0$$

\Rightarrow LN passa pelo CG na flexão simples

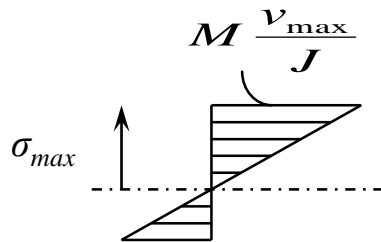
$$dF = \sigma \cdot dA \quad \text{e} \quad dM = dF \cdot v = v \cdot \sigma \cdot dA$$

$$M = \int_S v \cdot \sigma \cdot dA = \int_S v \cdot \frac{E \cdot v}{R} \cdot dA = \frac{E}{R} \cdot \underbrace{\int_S v^2 \cdot dA}_J$$



Segundo momento de área ou momento de inércia de área

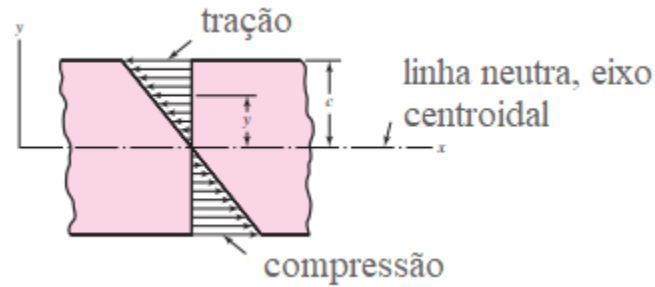
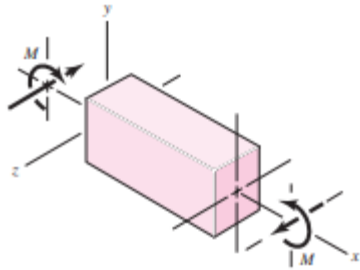
$$\sigma = \frac{1}{R} E \cdot v \Rightarrow \frac{E}{R} = \frac{\sigma}{v} \Rightarrow M = \sigma \cdot \frac{J}{v} \Rightarrow \boxed{\sigma = M \cdot \frac{v}{J}}$$



$$\Rightarrow \boxed{\sigma_{max} = \frac{M}{W_f}} \quad \text{com} \quad W_f = \frac{J}{v_{max}}$$

W_f = Módulo de resistência à flexão

3.5 - Tensão normal oriunda de momento fletor



$$\sigma_x = -\frac{My}{I} \quad I = \int y^2 dA$$

$$\sigma_{\max} = \frac{Mc}{I}$$

3.5 - Tensão normal oriunda de momento fletor em dois planos

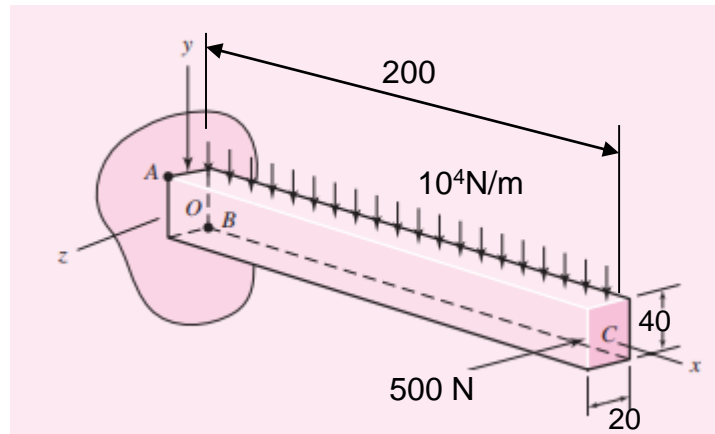
$$\sigma_x = -\frac{M_z y}{I_z} + \frac{M_y z}{I_y}$$

Para seção circular de diâmetro d

$$c = d/2 \quad I = \frac{\pi d^4}{64} \quad (\text{tabela A-18})$$

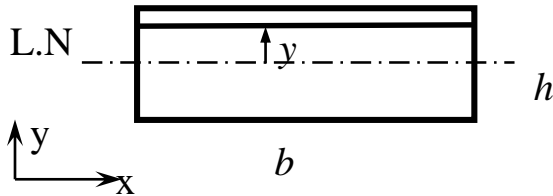
$$\sigma_m = \frac{Mc}{I} = \frac{(M_y^2 + M_z^2)^{1/2}(d/2)}{\pi d^4/64} = \frac{32}{\pi d^3}(M_y^2 + M_z^2)^{1/2}$$

EXEMPLO



Determinação de $J (I)$ de seções

a) Seções simples



$$J_x = \int_S y^2 . dS = \int_{-\frac{h}{2}}^{\frac{h}{2}} b . y^2 . dy = b . \frac{y^3}{3} \Big|_{-\frac{h}{2}}^{\frac{h}{2}}$$

$$J_x = \frac{b . h^3}{12}$$

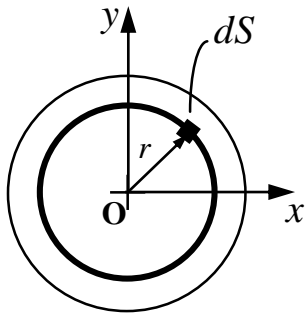
$$J_y = \frac{b^3 . h}{12}$$

Seções simples



Tabelas de J 's

b) Momento de Inércia de Torção (Polar) : J_T ou J_Z (J)



$$J_p = \int_S r^2 dS \quad \text{mas} \quad r^2 = x^2 + y^2 \quad \text{quando} \quad O \equiv CG$$

$$J_p = \int_S r^2 dS = \int x^2 . dS + \int y^2 . dS \quad \Rightarrow \quad J_p = J_y + J_x$$

No caso do círculo :

$$J_p = \int_S r^2 . dS$$

$$J_p = 2\pi . \int_S r^2 . r . dr = 2\pi . \frac{r^4}{4} \Big|_0^{\frac{d}{2}} \text{ com } dS = 2\pi . r . dr \quad \Rightarrow \quad J_p = \frac{\pi . d^4}{32}$$

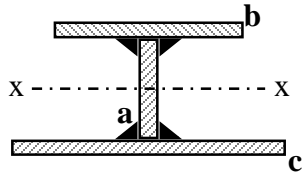
Como

$$J_p = J_x + J_y \quad \text{e} \quad J_x = J_y$$

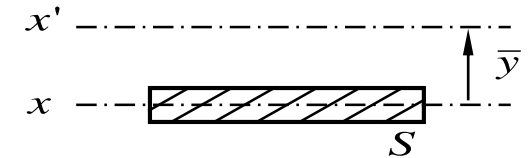
$$\Rightarrow \quad J_{\text{círculo}} = \frac{\pi . d^4}{64}$$

c) Seções compostas

c₁) Teorema dos eixos paralelos ou de Steiner



$$J_{x'} = J_x + \bar{y}^2 \cdot dS$$



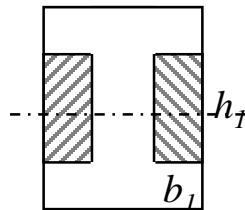
No exemplo acima:

$$J_{x-x} = b_a \cdot h_a^3 \cdot \frac{1}{12} + b_b \cdot h_b^3 \cdot \frac{1}{12} + (h_a + h_b)^2 \cdot \frac{1}{4} \cdot b_b \cdot h_b + b_c \cdot h_c^3 \cdot \frac{1}{12} + (h_a + h_c)^2 \cdot \frac{1}{4} \cdot b_c \cdot h_c$$

c₂) Soma de J's

$$J_x = \int_S y^2 \cdot dS \quad \text{e} \quad \int_{S_1 \pm S_2} f(x) \cdot dx = \int_{S_1} f(x) \cdot dx + \int_{S_2} f(x) \cdot dx$$

$$J = \sum J_i \quad \text{Referidos ao mesmo eixo !}$$



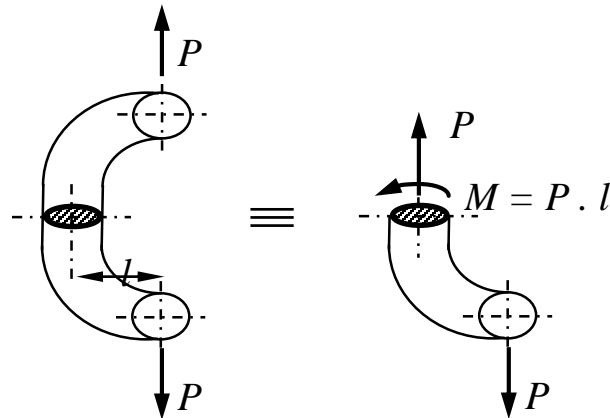
$$J_{\text{perfil I}} = J_{\text{total}} - 2 \cdot \frac{b_1 \cdot h_1^3}{12}$$



$$J_{\Delta} = \frac{1}{2} \cdot J_o$$

$$J_{\Delta} = \frac{\pi d^4}{128}$$

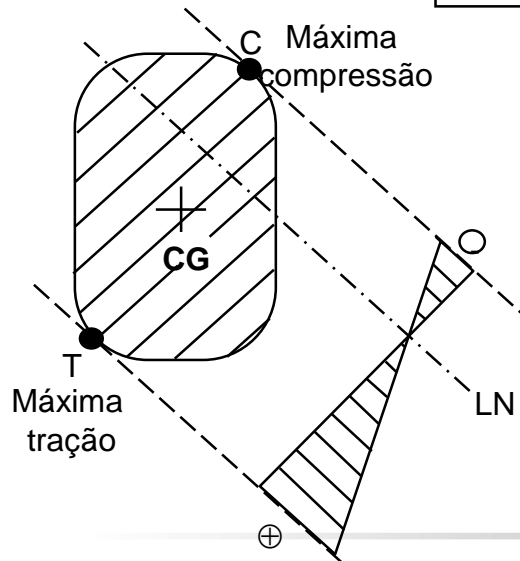
3.6- Tensão normal resultante de força normal e momento fletor



Princípio da superposição:

- Efeito de carregamento complexo é a soma de efeitos de carregamentos simples.
- Válido para pequenas deformações em regime elástico

$$\sigma = \frac{F_Z}{S} + \frac{M_{fx}}{J_x} \cdot y + \frac{M_{fy}}{J_y} \cdot x$$

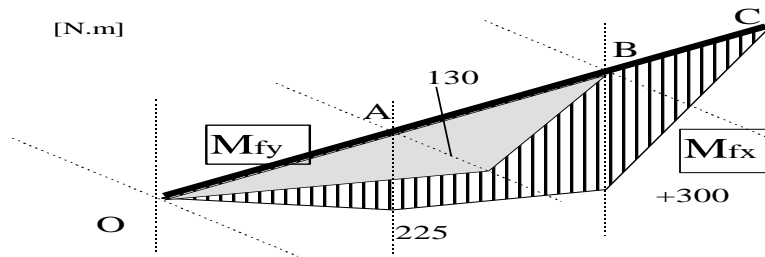


Impondo $\sigma = 0$:

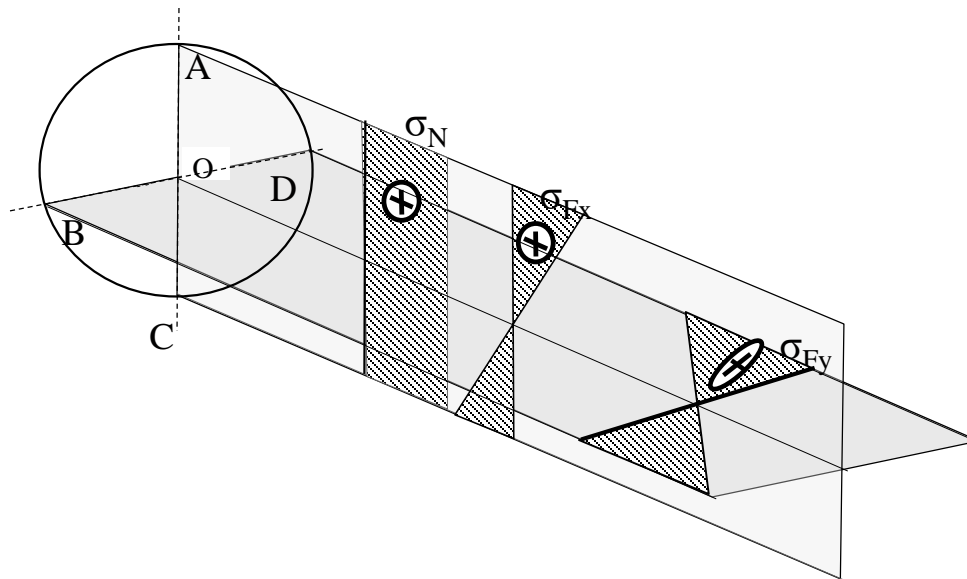
$$A \cdot x + B \cdot y + C = 0 \quad (\text{Equação da LN})$$

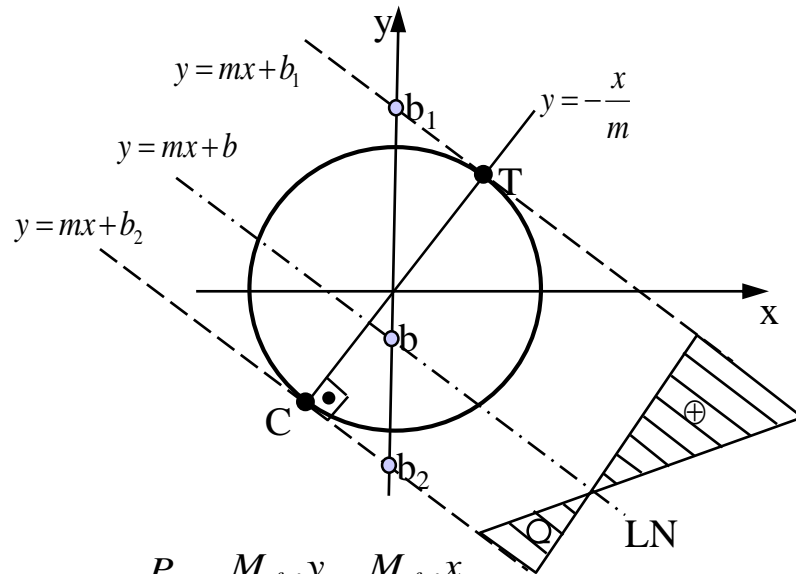
LN não passa pelo CG !

$$\sigma_{\text{max-tração}} = \sigma_T = \frac{P_Z}{S} + \frac{M_{fx}}{J_x} \cdot y_T + \frac{M_{fy}}{J_y} \cdot x_T$$



notar que os momentos M_{fx} e M_{fy} (como na figura acima) e as tensões normais devidas a eles estão em planos diferentes, normais entre si (como na figura abaixo). As tensões normais entretanto tem a mesma direção e portanto podem ser somadas.





$$\sigma = \frac{P_z}{S} + \frac{M_{fx} \cdot y}{J_x} + \frac{M_{fy} \cdot x}{J_y}$$

Para $\sigma = 0$
 \Rightarrow

Equação da LN

$$y = -\left(\frac{M_{fy}}{M_{fx}} \cdot \frac{J_x}{J_y}\right) \cdot x - \frac{P_z}{S} \cdot \frac{J_x}{M_{fx}}$$

$$y = m \cdot x + b \Rightarrow \begin{cases} m = -\frac{M_{fy}}{M_{fx}} \\ b = -\frac{P_z \cdot J}{S \cdot M_{fx}} \end{cases}$$

Pontos de tração e compressão máximas:

$$\begin{cases} y = -\frac{1}{m} \cdot x \\ y^2 + x^2 = r^2 \end{cases} \Rightarrow \left(-\frac{1}{m} \cdot x\right)^2 + x^2 = r^2$$

$$x^2 = \frac{r^2}{1 + \frac{1}{m^2}} \quad y^2 = \frac{r^2}{1 + m^2}$$

$$x^2 = \frac{1}{1 + \left(-\frac{M_{fx}}{M_{fy}}\right)^2} \cdot r^2 = \frac{M_{fy}^2}{M_{fy}^2 + M_{fx}^2} \cdot r^2 \quad x_{T,C} = \pm \frac{M_{fy} \cdot r}{\sqrt{M_{fx}^2 + M_{fy}^2}}$$

$$y^2 = \frac{1}{1 + \left(-\frac{M_{fy}}{M_{fx}}\right)^2} \cdot r^2 = \frac{M_{fx}^2}{M_{fx}^2 + M_{fy}^2} \cdot r^2 \quad y_{T,C} = \pm \frac{M_{fx} \cdot r}{\sqrt{M_{fx}^2 + M_{fy}^2}}$$

$$M_R = \sqrt{M_{fx}^2 + M_{fy}^2} \rightarrow \text{momento resultante}$$

como $\sigma = \frac{P_Z}{S} + \frac{1}{J} \cdot (M_{fx} \cdot y + M_{fy} \cdot x)$, temos:

$$\sigma_T = \frac{P_Z}{S} + \frac{1}{J} \cdot \left(M_{fx} \cdot \frac{M_{fx} \cdot r}{\sqrt{M_{fx}^2 + M_{fy}^2}} + M_{fy} \cdot \frac{M_{fy} \cdot r}{\sqrt{M_{fx}^2 + M_{fy}^2}} \right)$$

$$\sigma_T = \frac{P_Z}{S} + \frac{r}{J} \cdot \left(\frac{M_{fx}^2 + M_{fy}^2}{M_R} \right) = \frac{P_Z}{S} + \frac{r}{J} \cdot \frac{M_R^2}{M_R}$$

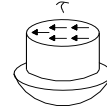
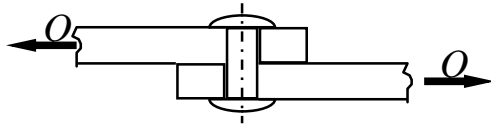
$$\sigma_T = \frac{P_Z}{S} + \frac{r}{J} \cdot M_R \quad \text{ou} \quad \sigma_T = \frac{P_Z}{S} + \frac{M_R}{W_f}$$

$W_f =$ módulo de resistência à flexão $= \frac{J}{r}$

para $\left| \frac{P_Z}{S} \right| > \left| \frac{M_R}{W_f} \right| \Rightarrow$ só tração ou só compressão

3.7- Tensão de cisalhamento

a) Cisalhamento puro (“corte”)

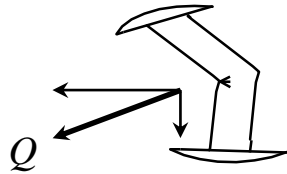


$$\tau_m = \frac{Q}{S}$$

- distribuição de τ não é uniforme sobre a seção transversal
- despreza-se flexão e normal

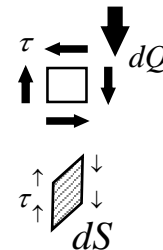
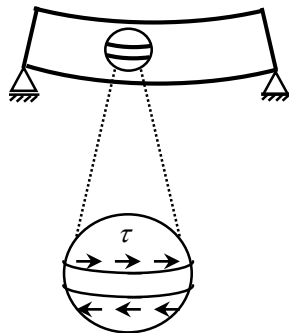
$$\tau_m \leq \tau_{adm} = 0.55 \text{ a } 0.60 \cdot \sigma_{adm} \Rightarrow \text{Fadiga}$$

$$\tau_m \leq \tau_{adm} = 0.80 \cdot \sigma_{adm} \Rightarrow \text{Estático}$$

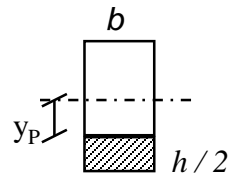


b) Cisalhamento em flexão (efeito Q)

b.1- em uma viga de seção retangular



$$\int_S \tau \cdot dS = dQ$$



$$\tau = \frac{Q \cdot M_s}{b \cdot J}$$

M_s = Momento estático da seção

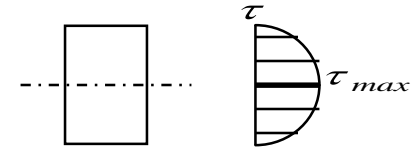
$$M_s = \int_{y_P}^{\frac{h}{2}} y \cdot dS = b \cdot \frac{y^2}{2} \Big|_{y_P}^{\frac{h}{2}}$$

$$M_S = \frac{b}{2} \cdot y^2 \Big|_y^{\frac{h}{2}} = \frac{b \cdot h^2}{8} \cdot \left[1 - \left(\frac{2 \cdot y}{h} \right)^2 \right]$$

** A tensão de cisalhamento devido a cortante será máxima na linha neutra ($y=0$) e nula na fibra externa ($y=h/2$), o inverso do que é observado nas tensões normais devido a flexão, raramente um estado de tensão originará situação de tensão no interior pior que o verificado nas fibras externas.

$$M_S = A - B \cdot y^2$$

- Quadrática em y
- Depende da forma da secção



$$\tau_{\text{retang}} = \frac{3}{2} \cdot \frac{Q}{b \cdot h} \cdot \left[1 - \left(\frac{2 \cdot y}{h} \right)^2 \right], \quad \tau_{\text{max}} = \frac{3}{2} \cdot \frac{Q}{b \cdot h} = \frac{3}{2} \cdot \tau_{\text{med}}$$

Observações:

1. τ não é distribuído uniformemente e depende da forma da secção

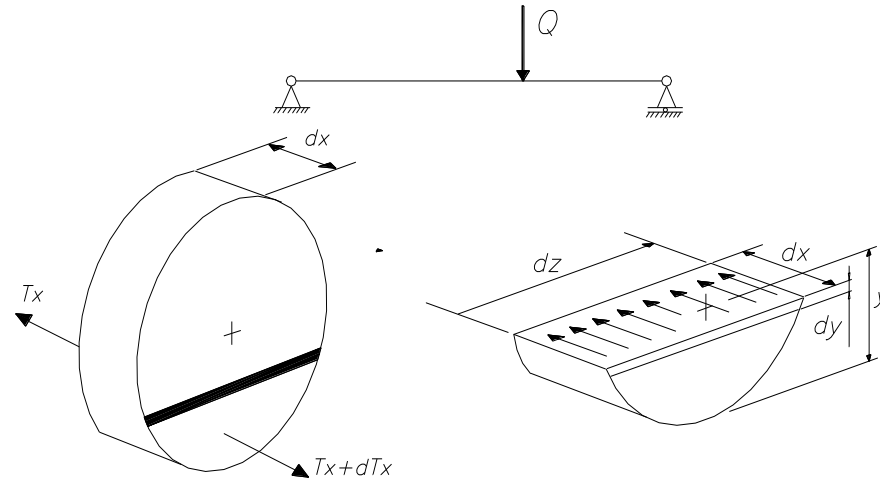
2. Para $\frac{l}{h} > 5$, (l = vão) τ_{max} é 2% a 5% de $\sigma_{\text{flexão}}$

⇒ desprezível ! Se $\frac{l}{h} < 3$ a teoria apresentada não vale !

3. Em alguns casos somente se preocupa com τ na flexão.
Ex: colagem, rebites

4. Se a secção não é simétrica em relação a P_y , Q não se aplica no C.G. mas no centro de torção T da secção.

b.2- em um eixo de seção circular



$$\tau \cdot dx \cdot dz = dT_x$$

$$T_x = \int_y^{y_1} \frac{M_x}{J} \cdot y \cdot dS = \frac{M_x}{J} \cdot M_s$$

$$T_{x+dx} = \frac{M_{x+dx}}{J} \cdot M_s$$

$$\therefore dT_x = T_{x+dx} - T_x = \frac{M_{x+dx} - M_x}{J} \cdot M_s$$

como $dM = Q \cdot dx$ temos:

$$\tau \cdot dx \cdot dz = dT_x = \frac{Q \cdot dx}{J} \cdot M_s$$

$$\tau \cdot dz = \frac{Q}{J} \cdot M_s$$

$$\tau(y) = \frac{Q}{J} \cdot \frac{1}{dz} \cdot M_s$$

$$\tau_{\theta} = \frac{Q}{J} \cdot \frac{1}{dz} \cdot \int_y^r y \cdot dS = \frac{Q}{J} \cdot \frac{1}{dz} \cdot \int_y^r y \cdot dz \cdot dy$$

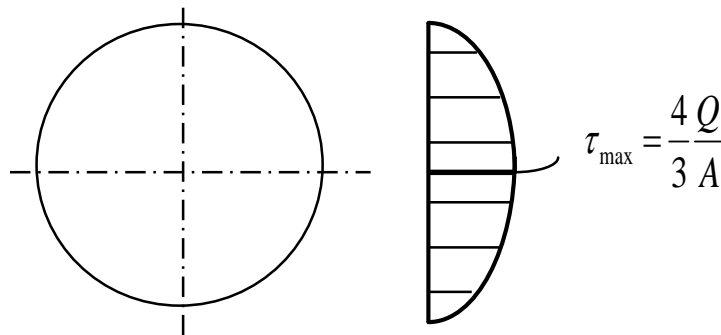
$$\tau_{\theta}(y) = \frac{Q}{J} \cdot \int_y^r y \cdot dr = \frac{Q}{J} \cdot \frac{y^2}{2} \Big|_y^r = \frac{Q}{J} \cdot \left(\frac{r^2}{2} - \frac{y^2}{2} \right)$$

para secção circular:

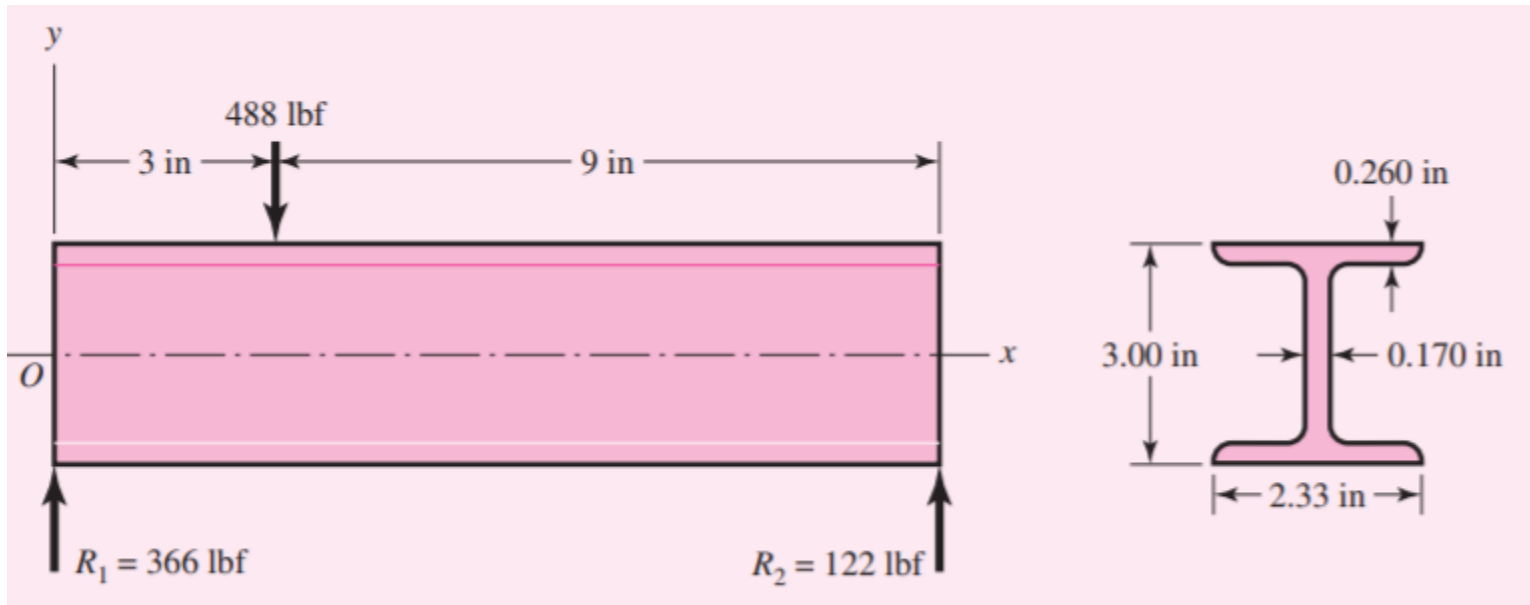
$$J = \frac{\pi \cdot d^4}{64} = \frac{\pi \cdot r^4}{2}$$

$$\tau(y) = \frac{Q}{\frac{\pi \cdot r^4}{2}} \cdot \frac{r^2}{2} \cdot \left[1 - \left(\frac{y}{r} \right)^2 \right] = \frac{4}{3} \frac{Q}{\pi \cdot r^2} \cdot \left[1 - \left(\frac{y}{r} \right)^2 \right]$$

$$\tau_y = \tau_m \cdot \left[1 - \left(\frac{y}{r} \right)^2 \right]$$



EXEMPLO

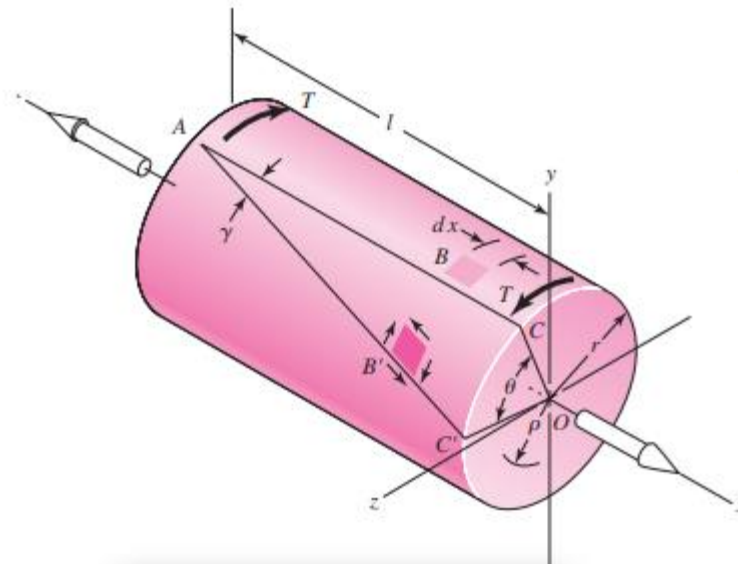


3.8- Torção

$$\theta = \frac{Tl}{GJ}$$

$$\tau = \frac{T\rho}{J}$$

$$\tau_{\max} = \frac{Tr}{J}$$



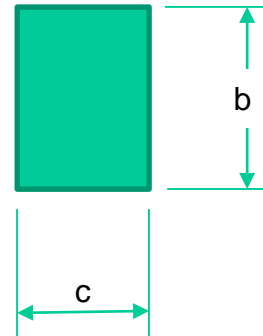
$$J = \frac{\pi d^4}{32}$$

Seção circular

$$J = \frac{\pi}{32} (d_o^4 - d_i^4)$$

Seção circular oca

PARA SEÇÕES RETANGULARES

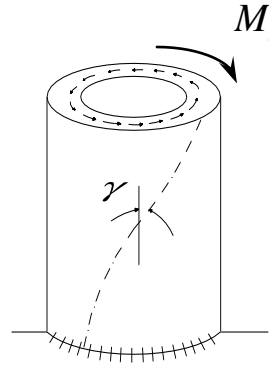


$$\tau_{\max} = \frac{T}{\alpha b c^2} \doteq \frac{T}{b c^2} \left(3 + \frac{1.8}{b/c} \right)$$

$$\theta = \frac{T l}{\beta b c^3 G}$$

b/c	1.00	1.50	1.75	2.00	2.50	3.00	4.00	6.00	8.00	10	∞
α	0.208	0.231	0.239	0.246	0.258	0.267	0.282	0.299	0.307	0.313	0.333
β	0.141	0.196	0.214	0.228	0.249	0.263	0.281	0.299	0.307	0.313	0.333

3.8- Torção



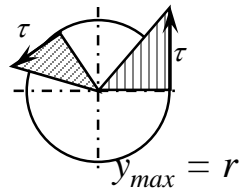
$$\tau = G.\gamma$$

$$G = \frac{E}{2.(1 + \nu)}$$

$$\tau_{\max} = \frac{M_t}{W_t} \quad ; \quad W_t = \frac{J_t}{y_{\max}}$$

- Distribuição de τ não é linear em geral
- empenamento (*warp*) em seções não-circulares

a) Seções circulares

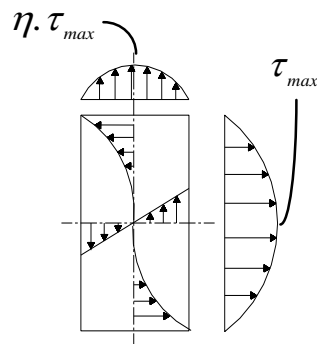


- Distribuição linear

$$J_t = J_p = J_x + J_y = \frac{\pi.d^4}{32} \quad , \quad W_t = \frac{\pi.d^3}{16}$$

$$J_t = \frac{b.h^3}{12} + \frac{h.b^3}{12} \quad y_{\max} = \frac{h}{2} \text{ ou } \frac{b}{2}$$

b) Seções retangulares



- Nas faces: parábolas p/ $h < 3b$
parábola achatada p/ $h > 3b$

face maior $\tau_{\max} = \frac{M_t}{W_t} \quad , \quad W_t = \eta_2.b^2.h$

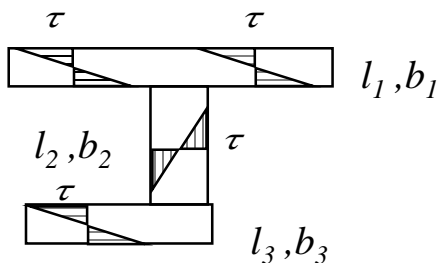
$$J_t = \eta_3.b^3.h$$

face menor $\tau_{\max menor} = \eta_1.\tau_{\max}$

$\eta_1, \eta_2, \eta_3 \rightarrow$ tabelados (Ex : tab. 3.1 Nieman)

- no interior : não-linear

c) Secções compostas



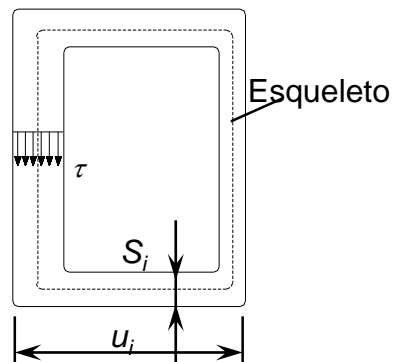
$$\tau_{\max} = \frac{M_t}{J_t} \cdot b_{\max}$$

$$J_t \cong \frac{1}{3} \cdot (b_1^3 \cdot l_1 + b_2^3 \cdot l_2 + \dots)$$

$$W_t = \frac{J_t}{b_{\max}}$$

d) Tubos de paredes finas

- Distribuição constante ao longo da espessura



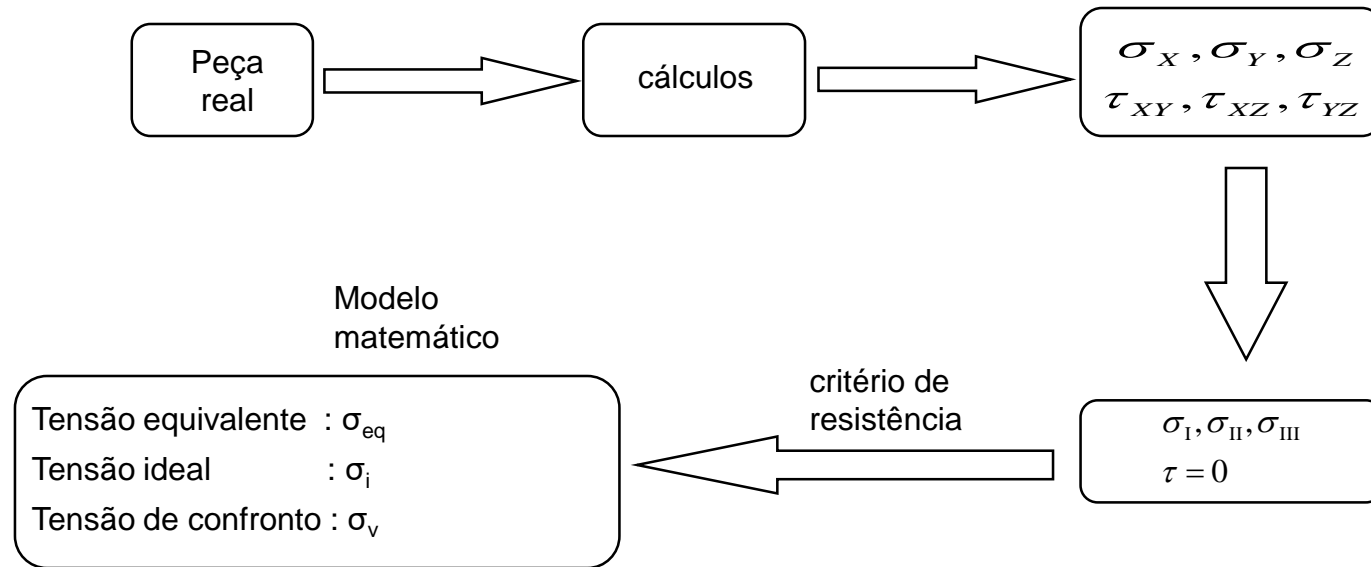
$$\tau_{\max} = \frac{M_t}{2 \cdot S_{\mu} \cdot s_{\min}}$$

$$S_{\mu} = \text{área interna do esqueleto}$$

$$s_{\min} = \text{espessura mínima}$$

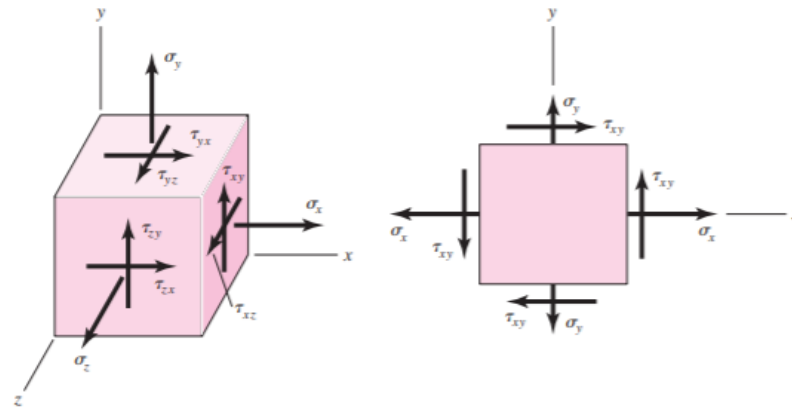
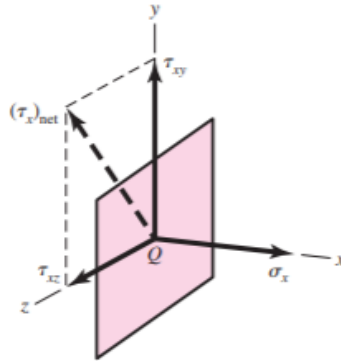
$$J_t = \frac{4 \cdot S_{\mu}^2}{\sum \frac{\mu_i}{s_i}} \quad ; \quad W_t = 2 \cdot S_{\mu} \cdot s_{\min}$$

3.9- Tensão equivalente e tensão admissível



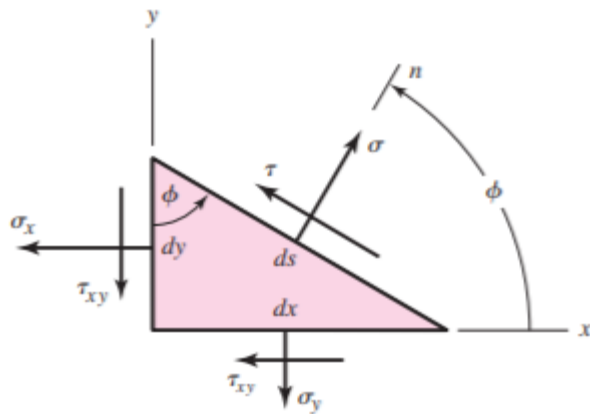
Se $\sigma_{eq} \leq \sigma_{adm}$ a peça não romperá !

3.9.1- Estado plano de tensões



$$\sigma = \frac{\sigma_x + \sigma_y}{2} + \frac{\sigma_x - \sigma_y}{2} \cos 2\phi + \tau_{xy} \sin 2\phi \quad \tan 2\phi_p = \frac{2\tau_{xy}}{\sigma_x - \sigma_y} \Rightarrow \frac{\sigma_x - \sigma_y}{2} \sin 2\phi_p - \tau_{xy} \cos 2\phi_p = 0 \Rightarrow \tau = 0$$

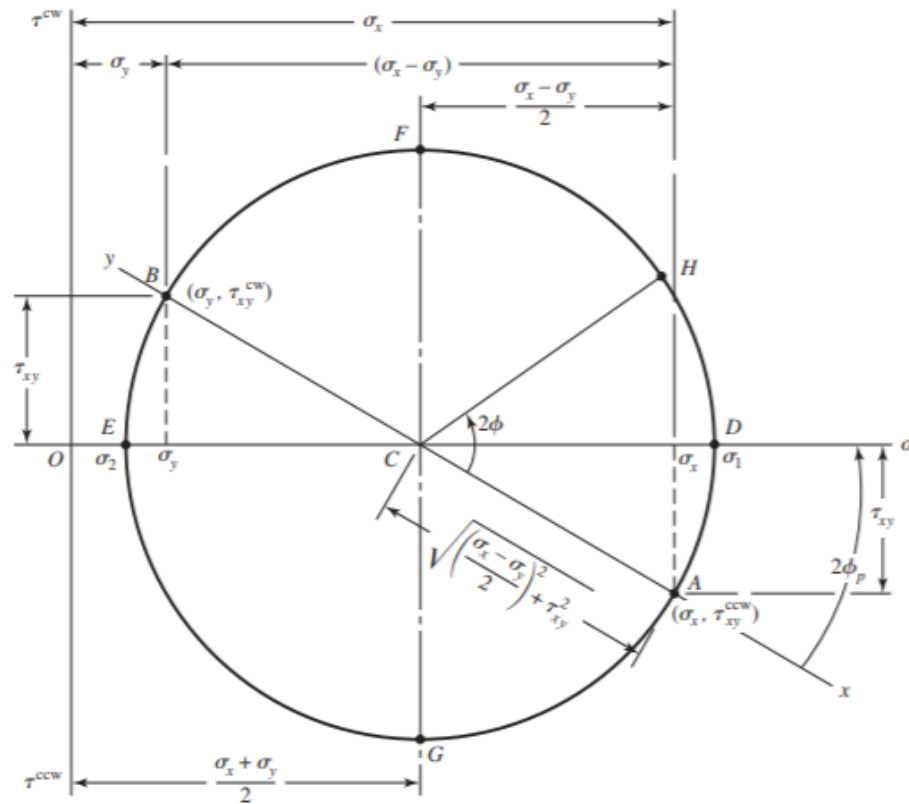
$$\tau = -\frac{\sigma_x - \sigma_y}{2} \sin 2\phi + \tau_{xy} \cos 2\phi \quad \tan 2\phi_s = -\frac{\sigma_x - \sigma_y}{2\tau_{xy}} \Rightarrow \frac{\sigma_x - \sigma_y}{2} \cos 2\phi_p + \tau_{xy} \sin 2\phi_p = 0 \Rightarrow \sigma = \frac{\sigma_x + \sigma_y}{2}$$



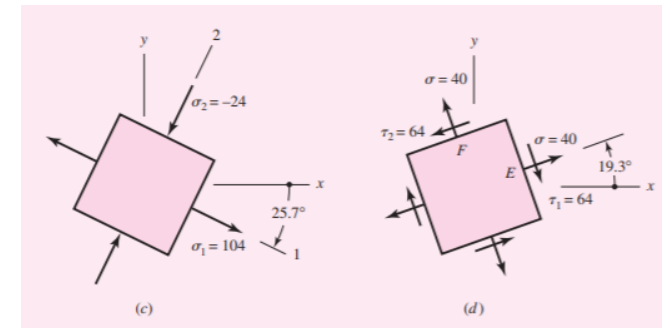
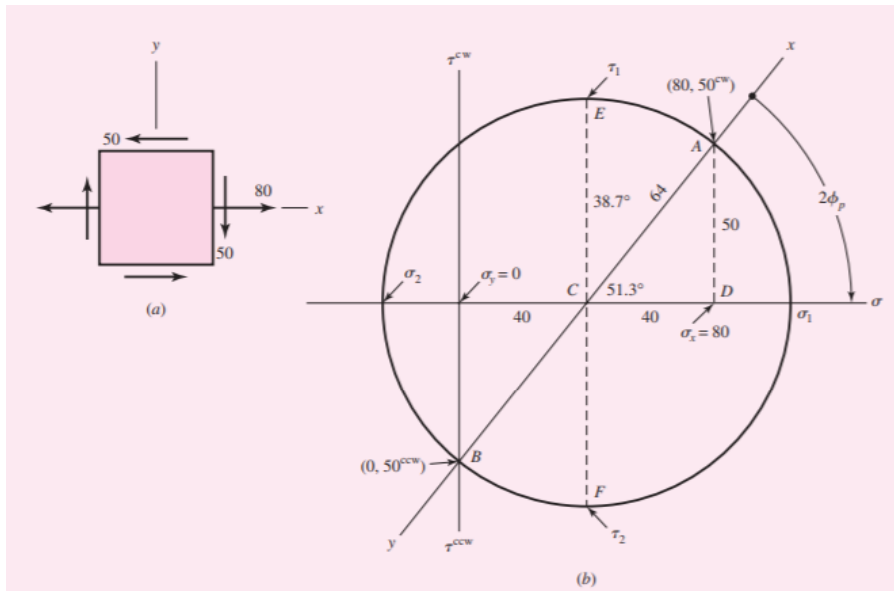
$$\sigma_1, \sigma_2 = \frac{\sigma_x + \sigma_y}{2} \pm \sqrt{\left(\frac{\sigma_x - \sigma_y}{2}\right)^2 + \tau_{xy}^2}$$

$$\tau_1, \tau_2 = \pm \sqrt{\left(\frac{\sigma_x - \sigma_y}{2}\right)^2 + \tau_{xy}^2}$$

Círculo de Mohr - convenções

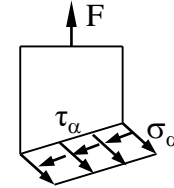
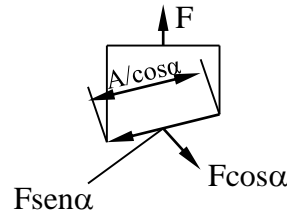
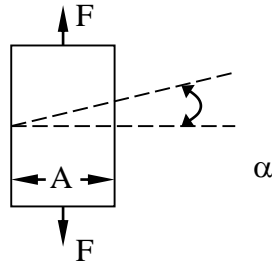


EXEMPLO



3.9.1- Estado de tensões

a) Estado simples de tensões

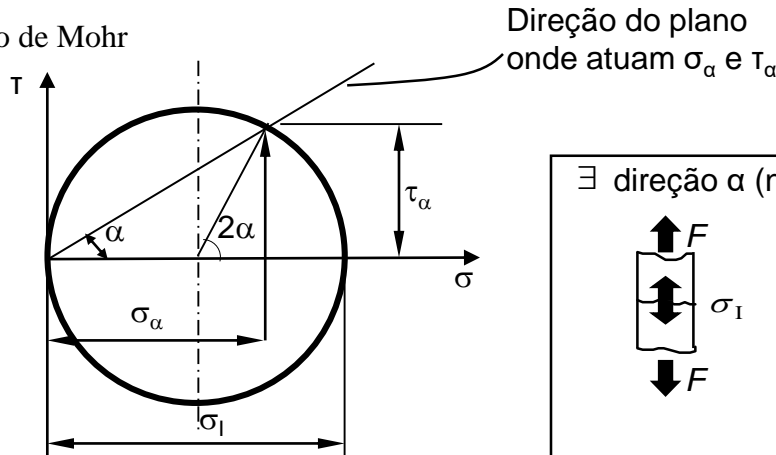


Tensão normal : $\sigma_{\alpha} = \frac{F}{A} \cdot \cos^2 \alpha = \frac{F}{2A} \cdot (1 + \cos(2\alpha))$

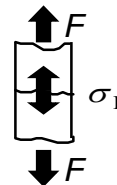
Tensão tangencial : $\tau_{\alpha} = \frac{F}{A} \cdot \sin \alpha \cdot \cos \alpha = \frac{F}{2A} \cdot \sin(2\alpha)$

Equações
paramétricas
do círculo

Círculo de Mohr



∃ direção α (no caso $\alpha = 0^\circ$) onde :

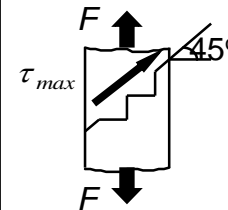


$$\sigma_{\alpha} = \sigma_I$$

$$\tau_{\alpha} = 0$$

Fratura frágil

Para $\alpha' = \alpha + 45^\circ$

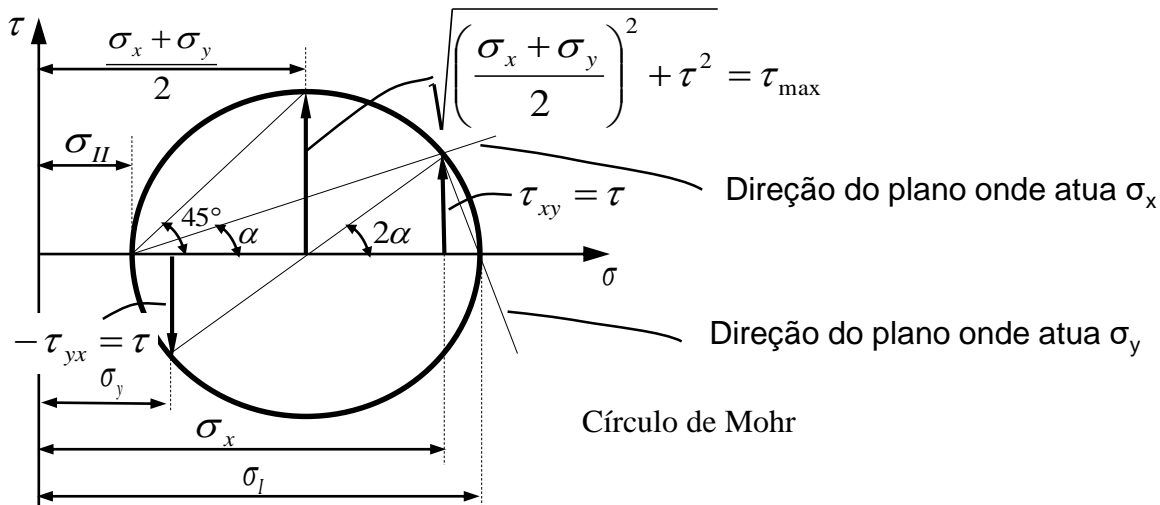
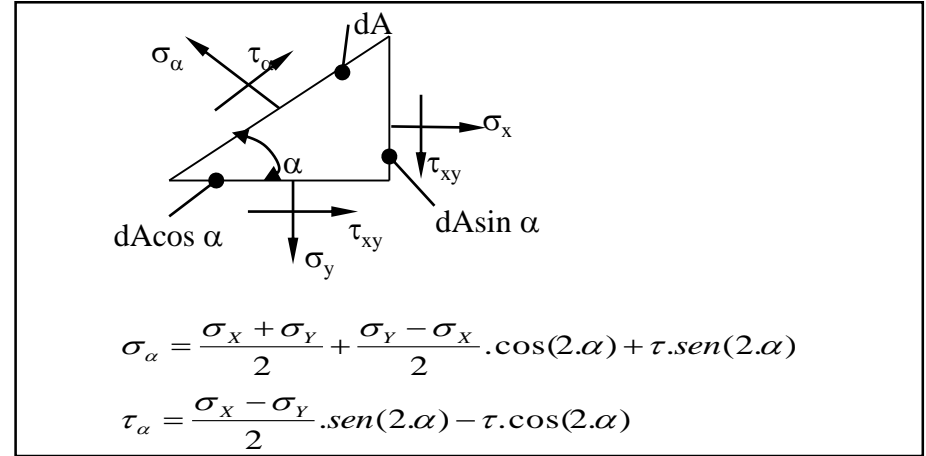
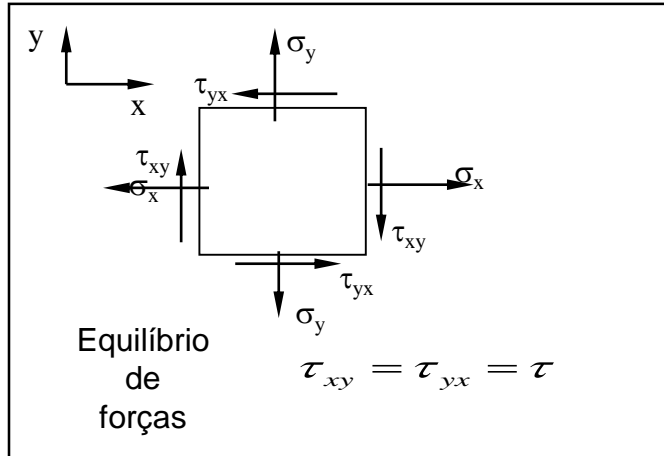


$$\sigma_{\alpha'} = \sigma_I / 2$$

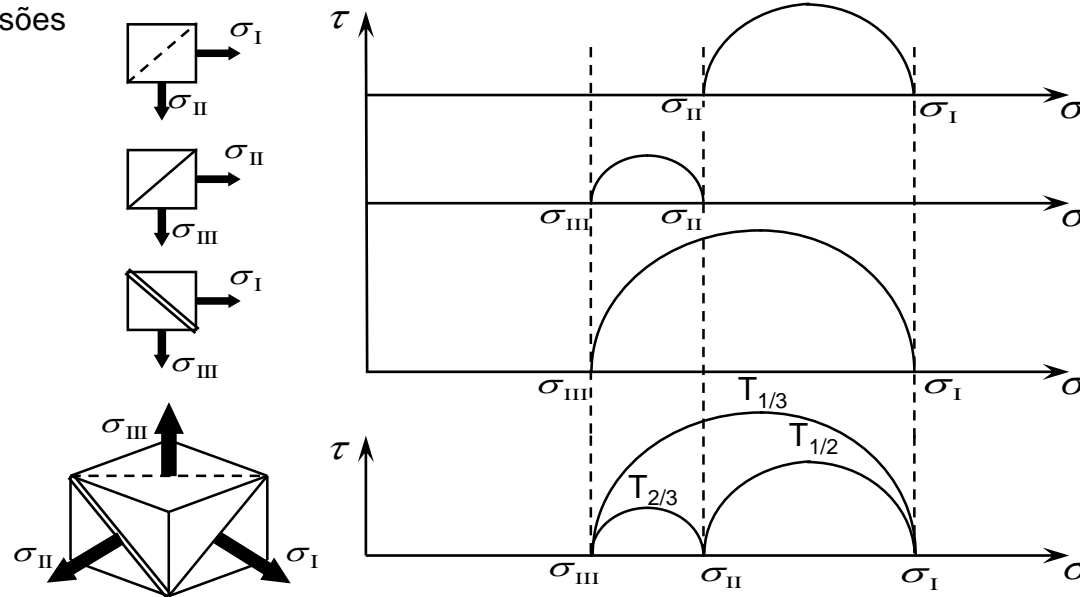
$$\tau_{\alpha'} = \tau_{\max} = \sigma_I / 2$$

Fratura dúctil

b) Estado duplo de tensões



c) Estado triplo de tensões



- Tensões principais

$$\sigma_{I,II} = \frac{\sigma_X + \sigma_Y}{2} \pm \sqrt{\left(\frac{\sigma_X - \sigma_Y}{2}\right)^2 + \tau^2}$$

- Tensão tangencial máxima

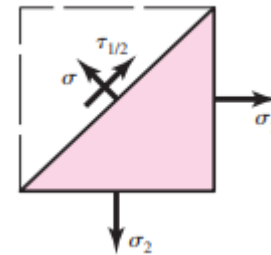
$$\tau_{max} = \sqrt{\left(\frac{\sigma_X - \sigma_Y}{2}\right)^2 + \tau^2}$$

- Ângulo dos planos principais

$$\tan(2.\alpha) = \frac{2.\tau}{\sigma_X - \sigma_Y}$$

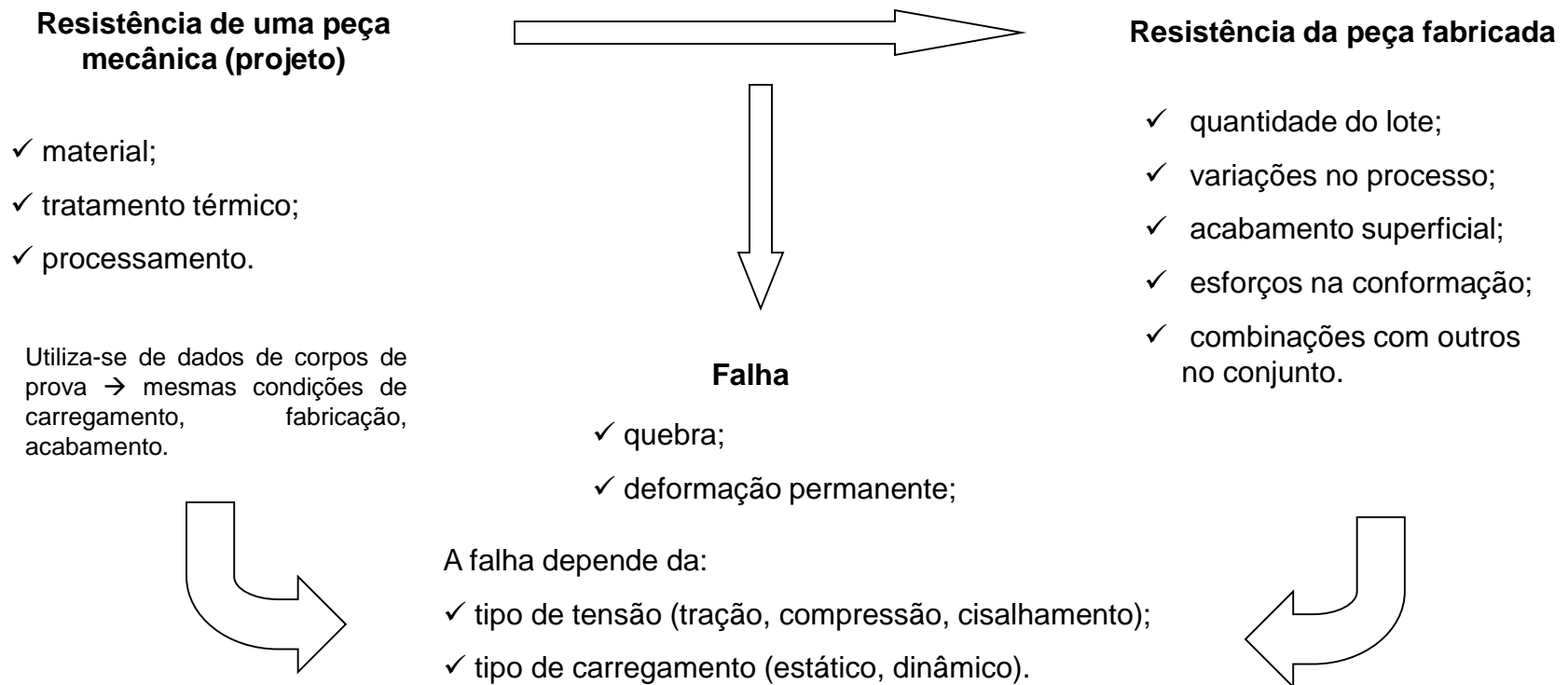
- Tensões em um ângulo qualquer

$$\begin{cases} \sigma_{X,Y} = \frac{\sigma_I + \sigma_{II}}{2} + \frac{\sigma_I - \sigma_{II}}{2} \cdot \cos(2.\alpha) \\ \tau = \frac{\sigma_I - \sigma_{II}}{2} \cdot \sin(2.\alpha) \end{cases}$$



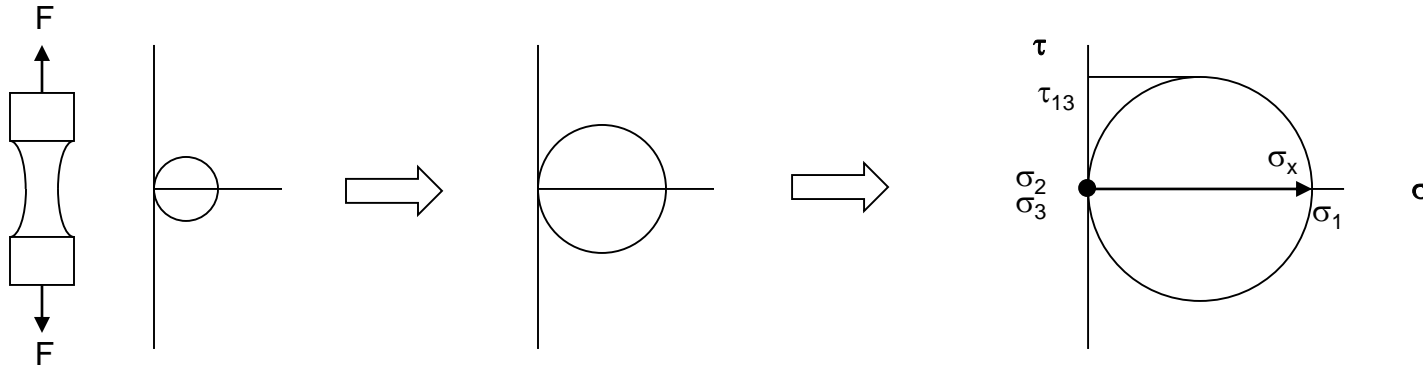
3.9.3. Critérios de resistência

Um componente mecânico, associado em conjunto a outros componentes, tem seu comportamento não tão bem delimitado e podem apresentar falha. São aplicados Critérios de Resistências que se utilizam de conceitos de segurança para o dimensionamento de componentes.

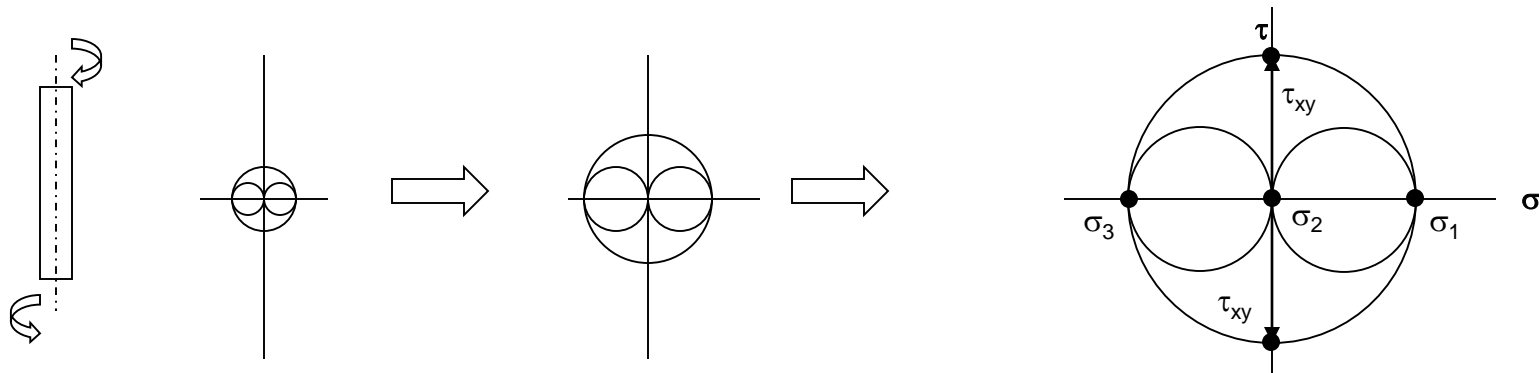


QUAL TENSÃO CAUSOU A FALHA??

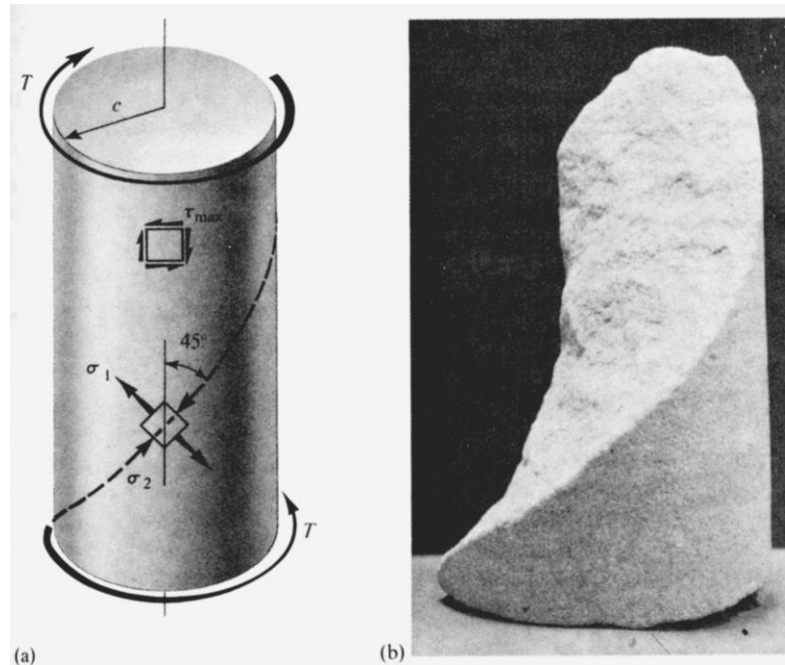
Se observarmos o círculo de Mohr para tração pura aplicada lentamente nota-se que há também a existência de tensão de cisalhamento, cujo valor máximo é exatamente a metade da tensão normal.



Se observarmos o círculo de Mohr para torção pura aplicada lentamente nota-se que há também a presença de tensão normal cujo valor máximo é igual a tensão de cisalhamento.



Em geral materiais duteis submetidos a carregamentos estáticos são limitados pelas suas tensões de cisalhamento, enquanto que os materiais frágeis pela tensão normal.



a) Descrição alternativa das tensões para um eixo em torção, b) amostra de pedra arenosa após ensaio de torção

O mesmo ensaio feito em materiais de baixa resistência ao cisalhamento, como o aço doce, quebra em uma superfície perpendicular ao eixo.

Fonte: POPOV, E.P. *Introdução à mecânica dos sólidos*. Trad. AMORELLI, M.O.C. Ed. Edgard Blücher, 1978.

Materiais dúteis

$$\epsilon \geq 0,05 \text{ e } S_{yc} = S_{yt} = S_Y$$

Critérios de escoamento

Tensão máxima de cisalhamento (MSS)

Energia de distorsão (DE)

Coulomb-Mohr dútil (DCM)

Materiais frágeis

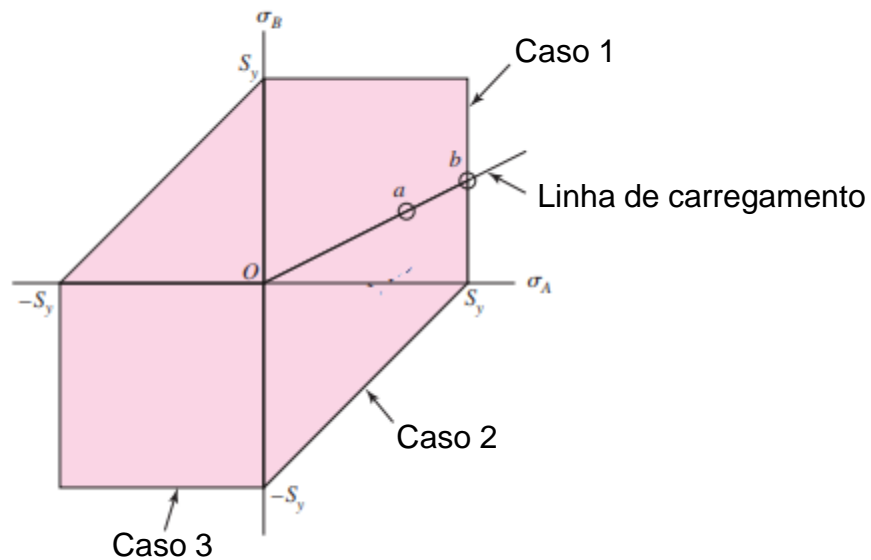
$$\epsilon < 0,05 \text{ caracterizados por } S_{ut} \text{ e } S_{uc}$$

Critérios de fratura

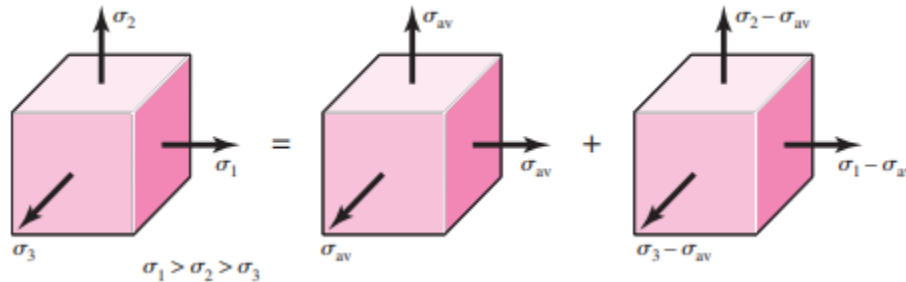
Tensão normal máxima (MNS)

Coulomb-Mohr frágil (BCM)

TEORIA DA TENSÃO MÁXIMA DE CISALHAMENTO



TEORIA DA ENERGIA DE DISTORÇÃO PARA MATERIAIS DÚTEIS



tensões triaxiais componente hidrostático componente distorcional

$$\sigma_{av} = \frac{\sigma_1 + \sigma_2 + \sigma_3}{3}$$

$$u_d = u - u_v = \frac{1 + \nu}{3E} \left[\frac{(\sigma_1 - \sigma_2)^2 + (\sigma_2 - \sigma_3)^2 + (\sigma_3 - \sigma_1)^2}{2} \right]$$

$$u = \frac{1}{2E} [\sigma_1^2 + \sigma_2^2 + \sigma_3^2 - 2\nu(\sigma_1\sigma_2 + \sigma_2\sigma_3 + \sigma_3\sigma_1)]$$

$$u_d = \frac{1 + \nu}{3E} S_y^2$$

$$u_v = \frac{3\sigma_{av}^2}{2E} (1 - 2\nu)$$

$$\left[\frac{(\sigma_1 - \sigma_2)^2 + (\sigma_2 - \sigma_3)^2 + (\sigma_3 - \sigma_1)^2}{2} \right]^{1/2} \geq S_y$$

$$u_v = \frac{1 - 2\nu}{6E} (\sigma_1^2 + \sigma_2^2 + \sigma_3^2 + 2\sigma_1\sigma_2 + 2\sigma_2\sigma_3 + 2\sigma_3\sigma_1)$$

$$\sigma' \geq S_y$$

TENSÃO DE VON MISES:

$$\sigma' = \left[\frac{(\sigma_1 - \sigma_2)^2 + (\sigma_2 - \sigma_3)^2 + (\sigma_3 - \sigma_1)^2}{2} \right]^{1/2}$$

TENSÃO PLANA:

$$\sigma' = (\sigma_A^2 - \sigma_A \sigma_B + \sigma_B^2)^{1/2}$$

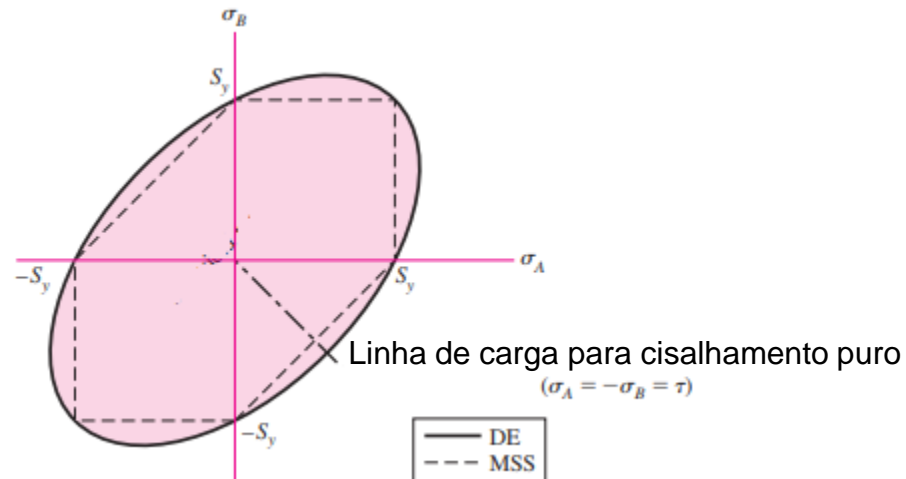
USANDO COMPONENTES DO TENSOR DAS TENSÕES (CASO GERAL)

$$\sigma' = \frac{1}{\sqrt{2}} [(\sigma_x - \sigma_y)^2 + (\sigma_y - \sigma_z)^2 + (\sigma_z - \sigma_x)^2 + 6(\tau_{xy}^2 + \tau_{yz}^2 + \tau_{zx}^2)]^{1/2}$$

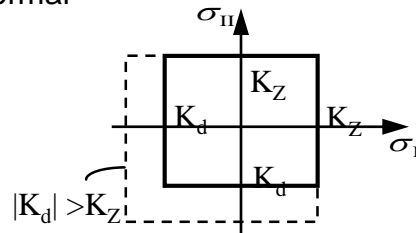
PARA O CASO PLANO DE TENSÕES:

$$\sigma' = (\sigma_x^2 - \sigma_x \sigma_y + \sigma_y^2 + 3\tau_{xy}^2)^{1/2}$$

TEORIA DA ENERGIA DE DISTORÇÃO PARA MATERIAIS DÚTEIS

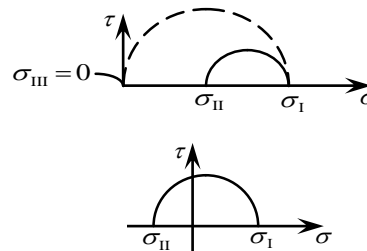
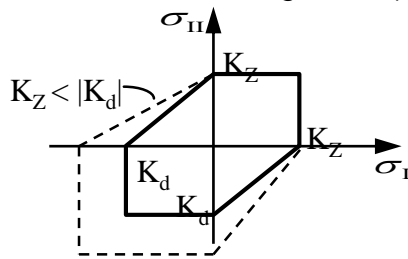


a) Máxima tensão normal



$$\sigma_V = \sigma_I \leq K_Z \text{ ou } D$$

b) Máxima tensão tangencial (Tresca)



$$\sigma_V = \sigma_I \leq K_Z \text{ ou } D$$

$$\sigma_V = \pm(\sigma_I + \sigma_{II}) \leq K$$

c) Máxima energia de distorção (Von Mises)

A energia total de deformação em uma peça carregada consiste em duas componentes: uma devido ao carregamento hidrostático que muda seu volume; e outra devido a distorção que muda sua forma.

A tensão de cisalhamento presente deve-se a parcela da energia de distorção.

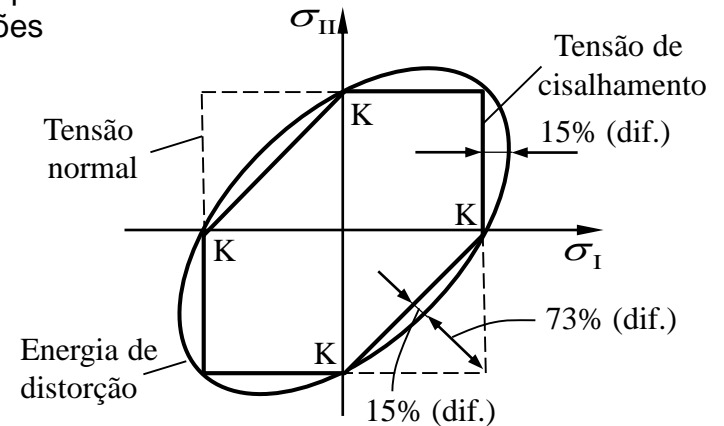
Elipse inclinada à 45° com semi-eixos $\begin{cases} K \cdot \sqrt{2} \\ K \cdot \sqrt{2} / 3 \end{cases}$

$$\sigma_V = \frac{1}{\sqrt{2}} \cdot \sqrt{(\sigma_I - \sigma_{II})^2 + (\sigma_{II} - \sigma_{III})^2 + (\sigma_{III} - \sigma_I)^2}$$

Estado triplo de tensões

$$\sigma_V = \sqrt{\sigma_I^2 - \sigma_I \cdot \sigma_{II} + \sigma_{II}^2}$$

Estado duplo de tensões



3.9.4. Casos estáticos

a) Tensão equivalente

Critério + usado p/ aço \Rightarrow energia de distorção (Von Mises)

$$\left. \begin{matrix} \sigma_x \\ \sigma_y \\ \sigma_z \end{matrix} \right\} \Rightarrow \text{tensões principais} \quad \sigma_1, \sigma_2, \sigma_3 \quad \Rightarrow \quad \sigma_e = \sqrt{\frac{1}{2} \cdot [(\sigma_1 - \sigma_2)^2 + (\sigma_2 - \sigma_3)^2 + (\sigma_3 - \sigma_1)^2]}$$

$$\text{b) Tensão admissível} \quad \sigma_{adm} = \frac{\sigma_{ruptura}}{\text{coef. de segurança}}$$

3.9.5. Casos de sollicitação dinâmica (fadiga)

a) Tensão equivalente

Critério leva em conta a fadiga do material

$$\sigma_e = \sqrt{(\sigma_{\max} \cdot \beta_{Kf})^2 + H^2 \cdot (\tau_{\max} \cdot \beta_{Kt})^2}$$

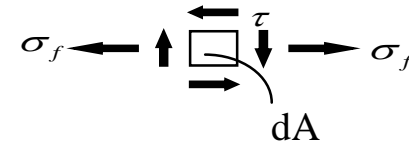
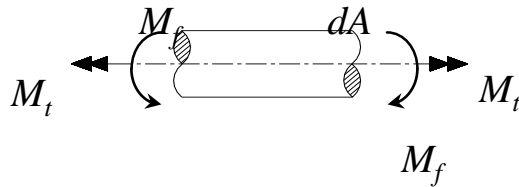
$$\beta_K' s = \text{coef. de entalhe}$$

$$H = \frac{\sigma_{\text{lim. fadiga}}}{\tau_{\text{lim. fadiga}}}$$

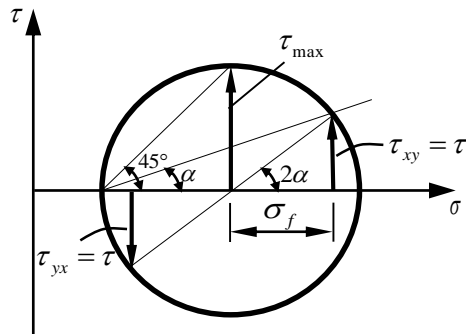
$$\text{b) Tensão admissível} \quad \sigma_{adm} \rightarrow \text{teoria de fadiga}$$

3.9.7. Aplicação dos critérios de resistência

- Eixo submetido à flexo-torção



- Círculo de Mohr



Critério de Resistência

$$\sigma_{I,II} = \frac{\sigma_f}{2} \pm \sqrt{\left(\frac{\sigma_f}{2}\right)^2 + \tau^2}$$

$$\tau_{\max} = \sqrt{\left(\frac{\sigma_f}{2}\right)^2 + \tau^2}$$

Tensão de Confronto (σ_v)

Máx. tensão normal

Máx. tensão tangencial

Máx. energia de distorção
(Von Mises)

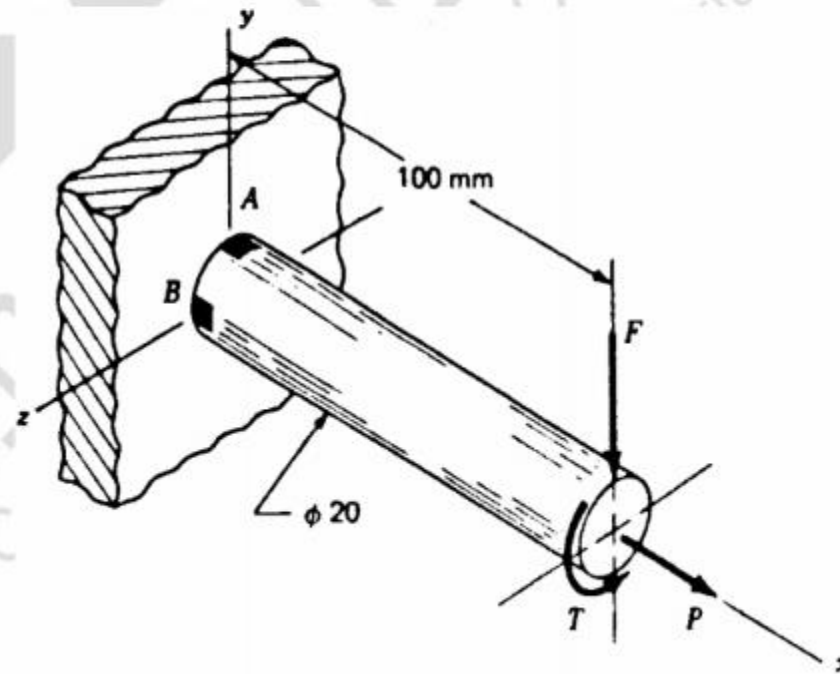
$$\sigma_{eq} = \sigma_I = \frac{\sigma}{2} + \sqrt{\left(\frac{\sigma}{2}\right)^2 + \tau^2}$$

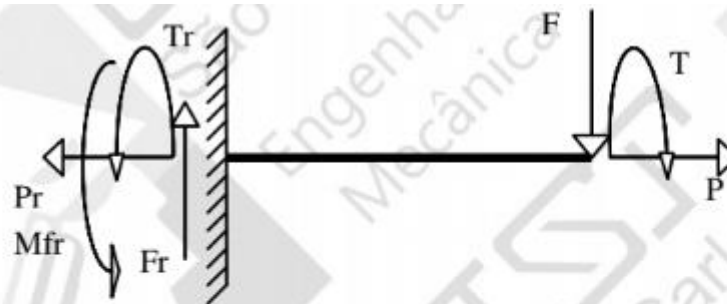
$$\sigma_{eq} = \sqrt{\sigma^2 + 4\tau^2}$$

$$\sigma_{eq} = \sqrt{\sigma^2 + 3\tau^2}$$

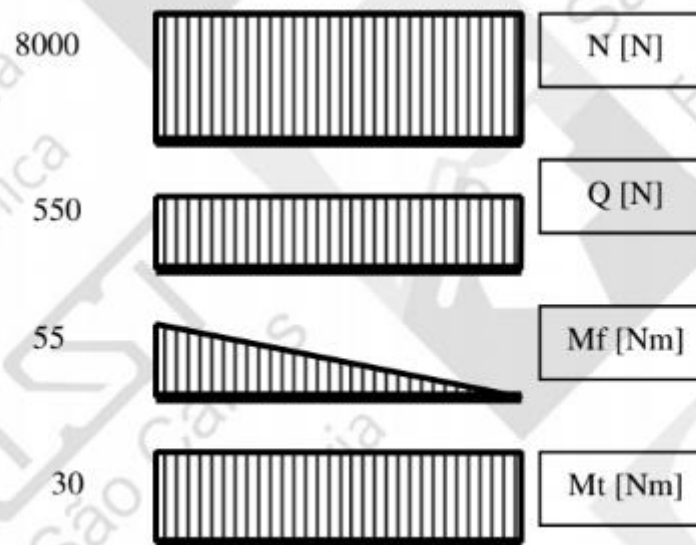
EXERCÍCIO

Determine as tensões nos pontos A e B da viga engastada mostrada na figura abaixo. O elemento de tensão que contém o ponto A fica na parte superior da superfície da viga e é paralelo ao plano xz. O elemento de tensão que contém o ponto B, fica na lateral da superfície da viga e é paralelo ao plano xy. O carregamento consiste das forças $F = 0,55$ [kN] e $P = 8$ [kN], e do torque (momento de torção) $T = 30$ [N.m]. Desenhar ambos os elementos de tensão, identificando os eixos e as tensões com suas intensidades e direções adequadas.





Os diagramas dos esforços solicitantes são bastante simples e podem ser vistos abaixo.



Os valores máximos destas tensões são:

$$\left\{ \begin{array}{l} \sigma_N = \frac{P}{A} = \frac{P}{\frac{\pi d^2}{4}} = \frac{8000 \text{ [N]}}{\frac{\pi \times 0,02^2}{4} \text{ [m}^2\text{]}} = 25,46 \text{ [MPa]} \\ \sigma_f = \frac{M_f}{W_f} = \frac{M_f}{\frac{\pi d^3}{32}} = \frac{55 \text{ [N.m]}}{\frac{\pi \times 0,02^3}{32} \text{ [m}^3\text{]}} = 70,03 \text{ [MPa]} \\ \tau_t = \frac{M_t}{W_t} = \frac{M_t}{\frac{\pi d^3}{16}} = \frac{30 \text{ [N.m]}}{\frac{\pi \times 0,02^3}{16} \text{ [m}^3\text{]}} = 19,10 \text{ [MPa]} \\ \tau_q = \frac{4.Q}{3.A} = \frac{4 \times 550 \text{ [N]}}{\frac{3 \times \pi \times 0,02^2}{4} \text{ [m}^2\text{]}} = 23,34 \text{ [kPa]} \end{array} \right.$$

